

13. Absorpce a index lomu – interakce světla s látkou

Popis interakce elektromagnetického záření s látkami můžeme provádět na různých úrovních:

- popisy látky i pole založené na kvantové mechanice a kvantové teorii pole;
- popisy založené na kvantovém popisu látky a „klasickém“ (nekvantovém) popisu pole;
- popisy založené na klasickém (nekvantovém) popisu látky i pole.

V tomto textu se zaměříme na nejjednodušší verzi z poslední možnosti. Budeme se zabývat fenomenologickým (tj. makroskopickým) popisem interakce „klasického“ elektromagnetického pole splňujícího makroskopické Maxwellovy rovnice a látka bude reprezentována souborem klasických oscilátorů (Lorentzův model) a relaxátorů (Drudeův model volných nosičů). Omezíme se na reakci látky na monochromatické elektromagnetické pole. Rovněž se nebudeme zabývat anizotropními látkami, látkami s optickou aktivitou (ve smyslu kruhového dvojlomu a kruhového dichroismu) a nebudeme uvažovat nelineárními procesy. Látku budeme považovat za homogenní a časově stálou, tedy její vlastnosti nejsou závislé ani na prostorových souřadnicích, ani na čase. Pro začátek budeme uvažovat polonekonečné absorbující prostředí pro $z > 0$, na které dopadá z vakua **kolmo** k rozhraní rovinná vlna. Jak vyplýne z dalšího, v tomto případě se v absorbujícím prostředí šíří homogenní, tlumená, rovinná vlna

Slábnutí intenzity postupné rovinné vlny při šíření uvnitř absorbujícího prostředí ve směru osy z je v rámci nejjednoduššího modelu popsáno exponenciálním tlumením

$$I(z) = I(z_0)e^{-\alpha(z-z_0)}, \quad (13.1)$$

kde $I(z_0)$ je intenzita záření ve vzorku na souřadnici z_0 a parametr v exponenciále je nazývaný **extinkční koeficient**. Pokud je vzorek dostatečně homogenní, takže můžeme zanedbat ztráty výkonu neseného vlnou rozptylovými mechanismy a ztráty výkonu jdou na vrub absorpčním procesům, nazveme tento parametr **absorpční koeficient** (též absorpční „konstanta“, přestože závisí na různých parametrech, mj. hlavně na frekvenci vlny). Rozměr α je m^{-1} . Její fyzikální význam je tloušťka materiálu $d = \frac{1}{\alpha}$, po jejímž průchodu poklesne intenzita záření na $\frac{1}{e}$ původní hodnoty.

V dalším vezměme pro zjednodušení $z_0 = 0$. Exponenciální závislost intenzity je důsledkem předpokladu, že ubývání intenzity vztažené na jednotku délky je úměrné intenzitě v tomto místě

$$dI(z) = -\alpha I(z) dz,$$

$$\int \frac{dI(z)}{I(z)} = -\alpha \int dz,$$

$$\ln I(z) + C' = -\alpha z,$$

$$C I(z) = e^{-\alpha z}$$

a integrační konstantu $C = \frac{1}{I_0}$ určíme z podmínky $I(z = 0) = I_0$.

Z praktického hlediska je základním experimentem měření propustnosti planparalelního vzorku tloušťky d , kdy zjišťujeme poměr intenzity záření (Poyntingova vektoru) vystupujícího ze vzorku a intenzity do vzorku vstupujícího. Obecně není úloha určení absorpčního koeficientu z tohoto poměru triviální, ale za silně zjednodušujících podmínek (vhodná tloušťka vzorku s ohledem na velikost absorpčního koeficientu, zanedbání vnějších i vnitřních odrazů na rozhraních) je pokles intenzit před a za vzorkem formulován jako Lambertův-Beerův zákon

$$I_{OUT}(d) = I_{IN} e^{-\alpha d}. \quad (13.2)$$

Několik poznámek o poměrech výstupní a vstupní intenzity $\frac{I_{IN}}{I_{OUT}}$ je uvedeno v **Dodatku 13.1**.

Pokles výkonové intenzity při šíření vlny v homogenním absorbujícím prostředí je spojen se zmenšením amplitudy kmitů, a to všech zúčastněných polí. Exponenciální pokles amplitudy lineárně polarizované vlny lze zahrnout v **reálném popisu** jako člen $e^{-k_I z}$

$$E_x(z, t) = E_{0x} e^{-k_I z} \cos(k_R z + \varphi_E) = E_{0x} e^{-\frac{\omega}{c} \kappa z} \cos\left(\frac{\omega}{c} n z + \varphi_E\right),$$

kde k_I, k_R, κ, n jsou reálná čísla, přičemž k_I (resp. κ) charakterizuje exponenciální pokles amplitudy kmitů. Podobně lze napsat i pro další pole potřebná pro spočtení intenzity, ať již ve smyslu Poyntingova vektoru nebo hustoty elektrické energie

$$H_y(z, t) = H_{0y} e^{-\frac{\omega}{c} \kappa z} \cos\left(\frac{\omega}{c} n z + \varphi_H\right),$$

$$D_x(z, t) = D_{0x} e^{-\frac{\omega}{c} \kappa z} \cos\left(\frac{\omega}{c} n z + \varphi_D\right).$$

Z řešení Maxwellových rovni v uvažovaném případě plyne, že fázové posuvy $\varphi_E, \varphi_H, \varphi_D$ nejsou stejné, ale souvisejí s materiálovými parametry absorbující látky. Podobně jako v případě netlumených monochromatických vln je i pro případ tlumených monochromatických vln z početních důvodů mnohem elegantnější používat komplexní symboliku. Popis šíření tlumené vlny lze zcela analogicky popisu vlny v neabsorbujícím prostředí provést pomocí vlnového vektoru a indexu lomu. V absorbujícím prostředí to učiníme přes **komplexní vlnový vektor** $\tilde{\mathcal{K}} = \mathbf{k}_R + i\mathbf{k}_I$. V obecném případě nemusí mít reálná a imaginární část stejný směr.¹ V dalším textu se omezíme na případ kolmého dopadu na rozhraní vakuum – absorbující prostředí, kdy jsou reálná i imaginární část vlnového vektoru paralelní.

V uvažované geometrii mají tedy reálná i imaginární část tohoto vektoru nenulové pouze z-ové složky. Podobně jako souvisí velikost vlnového vektoru s indexem lomu v neabsorbujícím prostředí, je tomu tak i v případě absorbujícího prostředí. V uvažované geometrii

Např. při šikmém dopadu na rozhraní je směr \mathbf{k}_R určen zákonem lomu a je kolmý na roviny konstantní fáze, zatímco směr \mathbf{k}_I je kolmý na roviny konstantní amplitudy, které jsou rovnoběžné s rovinou rozhraní. Výsledkem je nehomogenní vlna, ve které se amplituda podél vlnoplochy mění. Nehomogenní vlna pak už není vlnou příčnou, ale (jak plyne z Maxwellových rovnic) má i podélné složky závislé na polarizaci.

$$\tilde{\mathcal{K}}_z = (\mathbf{k}_R)_z + i(\mathbf{k}_I)_z = \frac{\omega}{c}(n + i\kappa) = \frac{\omega}{c}\tilde{\mathcal{N}}, \quad (13.3)$$

$$\tilde{\mathcal{N}}(\omega) = n(\omega) + i\kappa(\omega).$$

Tyto parametry vlny jsou frekvenčně závislé. Látka je charakterizována materiálovými parametry, jako jsou susceptibilita, permitivita, vodivost a permeabilita. Pro látky, ve kterých dochází k transformaci energie elektromagnetického pole na jiné formy energie (převážně teplo) je opět výhodné zavést tyto parametry pro monochromatickou excitaci „nemagnetické“ látky jako komplexní

$$\tilde{\chi}(\omega) = \chi_R(\omega) + i\chi_I(\omega) \quad (13.4)$$

$$\tilde{\epsilon}_r(\omega) = \epsilon_R(\omega) + i\epsilon_I(\omega),$$

$$\tilde{\sigma}(\omega) = \sigma_R(\omega) + i\sigma_I(\omega),$$

$$\mu = \mu_0.$$

Prvním důležitým krokem je najít vztahy mezi parametry popisujícími vlnu (komplexní index lomu $\tilde{\mathcal{N}}$) a parametry popisujícími látku (např. $\tilde{\epsilon}_r(\omega)$).

Zopakujme makroskopické Maxwellovy rovnice pro „nemagnetické“ prostředí s hustotou volných nábojů ρ a hustotou volných proudů \mathbf{j}

$$\begin{aligned} \operatorname{div} \tilde{\mathbf{D}}(\mathbf{r}, t) &= \rho(\mathbf{r}, t), & \operatorname{div} \tilde{\mathbf{B}}(\mathbf{r}, t) &= 0, \\ \operatorname{rot} \tilde{\mathbf{E}}(\mathbf{r}, t) &= -\frac{\partial \tilde{\mathbf{B}}(\mathbf{r}, t)}{\partial t}, & \operatorname{rot} \tilde{\mathbf{H}}(\mathbf{r}, t) &= \mathbf{j}(\mathbf{r}, t) + \frac{\partial \tilde{\mathbf{D}}(\mathbf{r}, t)}{\partial t} \end{aligned}$$

doplněné o lokální, izotropní a lineární materiálové vztahy

$$\begin{aligned} \tilde{\mathbf{D}}(\mathbf{r}, t) &= \epsilon_0 \tilde{\mathbf{E}}(\mathbf{r}, t) + \tilde{\mathbf{P}}(\mathbf{r}, t) = \\ &= \epsilon_0 \tilde{\mathbf{E}}(\mathbf{r}, t) (1 + \tilde{\chi}) = \epsilon_0 \tilde{\epsilon}_r \tilde{\mathbf{E}}(\mathbf{r}, t), \\ \tilde{\mathbf{j}}(\mathbf{r}, t) &= \tilde{\sigma} \tilde{\mathbf{E}}(\mathbf{r}, t), \\ \tilde{\mathbf{B}}(\mathbf{r}, t) &= \mu_0 \tilde{\mathbf{H}}(\mathbf{r}, t). \end{aligned}$$

Přitom veličiny $\tilde{\mathbf{E}}, \tilde{\mathbf{D}}, \tilde{\mathbf{P}}, \tilde{\mathbf{B}}, \tilde{\mathbf{H}}, \tilde{\sigma}$ a $\tilde{\epsilon}_r$ jsou závislé na frekvenci monochromatické vlny.

Budeme zabývat šířením rovinné, lineárně polarizované, monochromatické vlny ve směru osy z . Budeme uvažovat vlnu tlumenou a homogenní s elektrickým polem v komplexní symbolice

$$\tilde{\mathbf{E}}(\mathbf{r}, t) = \tilde{\mathbf{E}}_0(z=0, t=0) e^{i\tilde{\mathcal{K}}z} e^{-i\omega t},$$

kde $\tilde{\mathbf{E}}_0$ je pole v absorbujícím prostředí v místě $z=0$ a v čase $t=0$.

Dosažením homogenní, postupné, monochromatické, tlumené, rovinné a lineárně polarizované vlny do Maxwellových rovnic dostaneme v modelu s předpokladem $\tilde{\sigma}(\omega \neq 0) = 0$ dostaneme, (**Dodatek 13.2**)

$$\begin{aligned}
\tilde{E}_x &= E_0 e^{i\tilde{\kappa}z} e^{-i\omega t}, \\
\tilde{D}_x &= E_0 \varepsilon_0 (\varepsilon_R + i\varepsilon_I) e^{i\tilde{\kappa}z} e^{-i\omega t} = E_0 \varepsilon_0 (n + i\kappa)^2 e^{i\tilde{\kappa}z} e^{-i\omega t}, \\
\tilde{H}_y &= E_0 \varepsilon_0 c \frac{\varepsilon_R + i\varepsilon_I}{n + i\kappa} e^{i\tilde{\kappa}z} e^{-i\omega t} = E_0 \varepsilon_0 c (n + i\kappa) e^{i\tilde{\kappa}z} e^{-i\omega t}, \\
\tilde{B}_y &= \frac{1}{c} E_0 (n + i\kappa) e^{i\tilde{\kappa}z} e^{-i\omega t}.
\end{aligned} \tag{13.5}$$

Protože koeficient úměry mezi \tilde{D}_x a \tilde{E}_x , (podobně mezi \tilde{H}_y a \tilde{E}_x) je číslo komplexní, tyto veličiny nekmitají ve fázi, ale s fázovým posuvem určeným poměrem komplexní a reálné části indexu lomu. Vztahy 13.5 můžeme přepsat pomocí fázového posunu $\varphi_N = \varphi_H - \varphi_E$

$$\begin{aligned}
\tilde{H}_y &= \varepsilon_0 c (n + i\kappa) \tilde{E}_x = \varepsilon_0 c |\mathcal{N}| e^{i\varphi_N} \tilde{E}_x, \\
\tilde{D}_x &= \varepsilon_0 (n + i\kappa)^2 \tilde{E}_x = \varepsilon_0 |\mathcal{N}|^2 e^{2i\varphi_N} \tilde{E}_x, \\
\tan \varphi_N &= \frac{\kappa}{n}, \quad |\mathcal{N}|^2 = n^2 + \kappa^2.
\end{aligned} \tag{13.6}$$

Z rovnosti $(n + i\kappa)^2 = \tilde{\varepsilon}_r = \varepsilon_R + i\varepsilon_I$ vyplývají vztahy

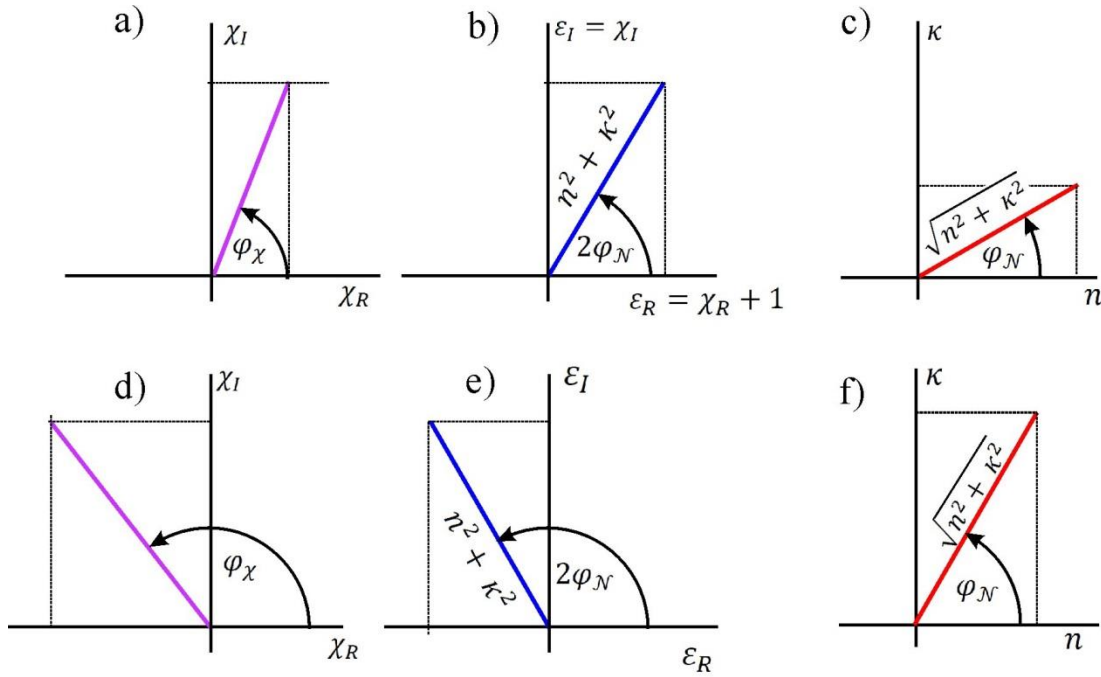
$$\begin{aligned}
\operatorname{Re}\{\tilde{\varepsilon}_r\} &= \varepsilon_R = n^2 - \kappa^2, & \operatorname{Im}\{\tilde{\varepsilon}_r\} &= \varepsilon_I = 2n\kappa, \\
n &= \sqrt{\frac{1}{2} \left(\varepsilon_R + \sqrt{\varepsilon_R^2 + \varepsilon_I^2} \right)}, & \kappa &= \sqrt{\frac{1}{2} \left(-\varepsilon_R + \sqrt{\varepsilon_R^2 + \varepsilon_I^2} \right)}, \\
e^{i\tilde{\kappa}z} &= e^{-\frac{\omega}{c} \kappa z} e^{i\frac{\omega}{c} n z}.
\end{aligned} \tag{13.7}$$

Slábnutí intenzity vlny při průchodu prostředím můžeme vypočítat jak ze závislosti hustoty elektrické energie, tak ze závislosti Poyntingova vektoru na souřadnici z (**Dodatek 13.3**). V obou případech dostáváme slábnutí intenzity podél směru šíření popsané závislostí $e^{-2\frac{\omega}{c} \kappa z}$. V diskusí na počátku této kapitoly jsme zavedli absorpční koeficient α , pro jehož hodnotu porovnáním dostáváme

$$\alpha = 2 \frac{\omega}{c} \kappa = 2k_I. \tag{13.8}$$

Z rovnic 13.7 plyne, že pokud dochází k absorpci ($\alpha > 0$), je $\kappa > 0$, $\varepsilon_I > 0$ a permitivita $\tilde{\varepsilon}_r$ je komplexní. V tomto případě je komplexní i susceptibilita $\tilde{\chi}$ a pro vektor polarizace \mathbf{P} můžeme psát v našem uspořádání

$$\tilde{P}_x(z, t) = \varepsilon_0 \tilde{\chi} \tilde{E}_x(z, t) = \varepsilon_0 (\chi_R + i\chi_I) \tilde{E}_x(z, t) = \varepsilon_0 |\tilde{\chi}| e^{i\varphi_\chi} \tilde{E}_x(z, t). \tag{13.9}$$



Obr. 13.1 Znáornění významu úhlů φ_χ , φ_N a $2\varphi_N$. V horní řádce diagramů (a,b,c) pro $\varphi_N < 45^\circ$ a v dolní řádce diagramů (d,e,f) pro $\varphi_N > 45^\circ$.

Absorpce v dielektriku je tedy spojena s **fázovým posunem** mezi budícím elektrickým polem \mathbf{E} a odezvou látky reprezentovanou vektorem polarizace \mathbf{P} . V důsledku Maxwellových rovnic dochází i k fázovému posuvu mezi elektrickým a magnetickým polem. Pokud je absorpční koeficient roven nule, jsou nulové i imaginární části permitivity a susceptility ($\varphi_\chi = 0$) a vektory $\mathbf{P}, \mathbf{E}, \mathbf{D}, \mathbf{H}, \mathbf{B}$ kmitají ve fázi.

Objemová hustota výkonu odebíraného vlně vztážená na jednotkovou vzdálenost a časově vystředovaná je (**Dodatek 13.3**)

$$\begin{aligned} \langle -\text{div } S \rangle_t &= - \left\langle \frac{\partial S_z}{\partial z} \right\rangle_t = \frac{1}{2} c n \varepsilon_0 E_0^2 \alpha e^{-\alpha z} = \\ &= \varepsilon_0 E_0^2 \omega n \kappa e^{-2\frac{\omega}{c} \kappa z} = \frac{1}{2} \varepsilon_0 E_0^2 \omega \varepsilon_I e^{-\alpha z}. \end{aligned} \quad (13.10)$$

Ke stejnému výsledku dospějeme i tak, že za objemovou hustotu ztrát výkonu budeme považovat Jouleovo teplo Q uvolněné v důsledku součinu polarizačního proudu $\mathbf{j}_P = \frac{\partial \mathbf{P}}{\partial t}$ a elektrického pole \mathbf{E} (**Dodatek 13.3 a 13.4**) v souladu s tzv. Poyntingovým teorémem, který popisuje energetickou bilanci ve zvoleném elementárním objemu látky. V naší geometrii

$$\langle Q(z) \rangle_t = \langle j_{Px}(z) \cdot E_x(z) \rangle_t = \frac{1}{2} \varepsilon_0 E_0^2 \omega \varepsilon_I e^{-\alpha z}. \quad (13.11)$$

Ze vztahů 13.10 a 13.11 plyne, že objemová hustota výkonu odebíraného vlně v absorbujícím prostředí je úměrná součinu $\omega n(\omega) \kappa(\omega) = \frac{\omega}{2} \varepsilon_I(\omega)$.

Jev absorpce (vedoucí ke komplexnímu indexu lomu) je významný i z hlediska odrazu dopadajícího světla. Fresnelovy amplitudové koeficienty (kapitola 3) jsme definovali jako komplexní veličiny. Při výkladu odrazu na neabsorbujícím dielektriku (s vyloučením totálního odrazu) jsme ukázali, že se jedná o reálná čísla. V případě absorbujícího dielektrika tomu již tak není. Vzhledem k tomu, že dochází k absorpci, je index lomu komplexní. Fresnelovy amplitudové koeficienty odrazu pro obě složky polarizace získáme dosazením komplexních indexů lomu do rovnic 3.31 a 3.35. Speciálně pro případ kolmého dopadu ze vzduchu ($n_1 = 1$) do absorbujícího dielektrika ($\tilde{N}_2 = n_2 + i\kappa_2$) dostaneme pro amplitudový koeficient odrazu

$$\tilde{r}_{s,p}(\omega) = \tilde{r}(\omega) = \frac{1 - n_2(\omega) - i\kappa_2(\omega)}{1 + n_2(\omega) + i\kappa_2(\omega)} \quad (13.12)$$

Pro výkonový koeficient odrazu pro případ kolmého dopadu na absorbující dielektrikum $R(\omega)$ pak platí

$$\begin{aligned} R(\omega) = r(\omega) \cdot r^*(\omega) &= \frac{1 - n_2(\omega) - i\kappa_2(\omega)}{1 + n_2(\omega) + i\kappa_2(\omega)} \cdot \frac{1 - n_2(\omega) + i\kappa_2(\omega)}{1 + n_2(\omega) - i\kappa_2(\omega)} = \\ &= \frac{[n_2(\omega) - 1]^2 + \kappa_2^2(\omega)}{[n_2(\omega) + 1]^2 + \kappa_2^2(\omega)}. \end{aligned} \quad (13.13)$$

Dosud jsme diskutovali šíření monochromatické, homogenní, tlumené vlny a vztah komplexního indexu lomu $\tilde{N}(\omega) = n(\omega) + i\kappa(\omega)$ s fenomenologickým parametrem popisu látkového prostředí, komplexní permitivitou $\tilde{\epsilon}_r(\omega)$ a předpokládali jsme nulovou vodivost $\sigma = 0$. Za takového předpokladu byly odvozeny vztahy 13.5 až 13.11.

Jak se však ukazuje, uvedené omezení vůbec není principiální. Takový popis lze použít při popisu **obecného** ztrátového lineárního látkového prostředí při monochromatické excitaci. Alternativně je možno používat různé varianty sad materiálových parametrů, které lze mezi sebou libovolně převádět, jak je naznačeno v **Dodatku 13.4 a 13.5**. V tomto textu budeme i nadále preferovat popis pomocí $\tilde{\epsilon}_r(\omega)$, $\sigma(\omega \neq 0) = 0$.

V dalším budeme prezentovat dva nejjednodušší modely pro určení frekvenční závislosti $\tilde{\epsilon}_r(\omega)$, totiž model Lorentzova oscilátoru a Drudeův model pro volně pohyblivé náboje (např. „volné“ elektrony v kovu).

Lorentzův model odezvy dielektrika

Základní nekvantový Lorentzův model vychází z představy látky jako souboru oscilátorů - elektrických dipólů, jejichž náboje vnější elektrické pole vychyluje z jejich rovnovážných poloh. Ve své jednoduché, zde prezentované podobě, neuvažuje vzájemné působení kmitajících objektů přes lokální elektrická (případně magnetická) pole. Toto vnější pole vytváří v látce oscilující polarizaci.

Jednou z možností je, že nabitou částicí je elektron v atomu, který se chová jako klasická částice podle zákona síly ($\mathbf{F} = m\mathbf{a}$). Na elektrony působí elastická síla, která jej váže k jádru atomu a dále disipativní síla, která má za následek absorpci energie. Model dále předpokládá, že všechny

základní stavební elementy látky (atomy) jsou identické a každý má jeden nebo několik elektronů reagujících na vnější pole. Atomy nebo molekuly jsou rovnoměrně rozloženy v objemu s objemovou koncentrací nábojů N . Při působení elektrického pole dochází k vychýlení elektronu v obalu vůči jádru o výchylku \mathbf{r} a ke vzniku elementárního dipólu. Objemovou hustotu dipólového momentu pak vyjadřuje vektor polarizace \mathbf{P} , který můžeme psát jako

$$\mathbf{P}(z, t) = Nq\mathbf{r}(z, t), \quad (13.15)$$

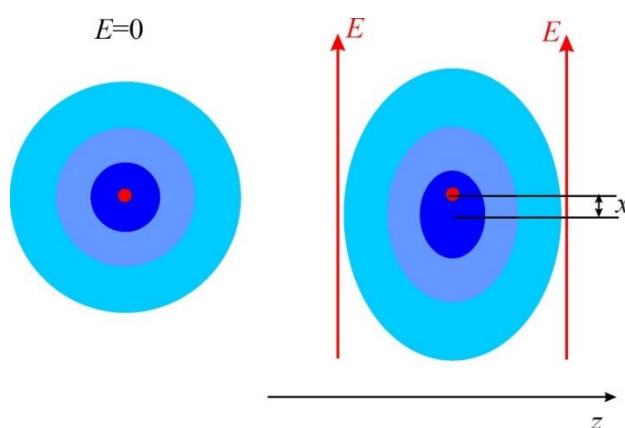
kde q je efektivní náboj tvořící dipól $\pm q$ a jejich objemová koncentrace je N . Výchylka $\mathbf{r}(z, t)$ závisí na velikosti elektrického pole $\mathbf{E}(z, t)$ v daném místě. V dalším se omezíme na výchylky (a směr dipólových momentů) ve směru osy x .

Na základě Newtonova zákona síly sestavíme pohybovou rovnici popisující výchylku elektronu z rovnováhy $\tilde{x}(t)$. Předpokládáme, že výchylka je komplexní veličina, tj. může dojít k fázovému posunu vůči budícímu elektrickému poli. Použijeme jednorozměrný popis, kdy budeme předpokládat, že elektron se vůči jádru vychyluje ve směru x , ve kterém rovněž působí elektrické pole $\tilde{\mathbf{E}} = (E_0 e^{-i\omega t}, 0, 0)$. Elektrické pole tedy působí v místě atomu na elektron silou $qE(t)$. Proti tomu působí síla tření $-m\gamma \frac{d\tilde{x}(t)}{dt}$, která je zodpovědná za absorpci energie a rovněž síla $-k_H x(t)$ zodpovědná za vazbu elektronu k jádru.

$$m \frac{d^2 \tilde{x}(t)}{dt^2} + m\gamma \frac{d\tilde{x}(t)}{dt} + k_H \tilde{x}(t) = q\tilde{E}(t), \quad (13.16)$$

$$ma = q\tilde{E}(t) - m\gamma \frac{d\tilde{x}(t)}{dt} - k_H \tilde{x}(t),$$

kde γ je konstanta popisující tlumení úměrné rychlosti $\frac{d\tilde{x}(t)}{dt}$ a k_H je konstanta vratné („elastické“) síly vážící elektron k jádru atomu (Hookova konstanta při představě pružinového modelu).



Obr. 13.2 Schématické znázornění vlivu elektrického pole na atom a vznik dipólového momentu

Rovnici 13.16 upravíme a dostaneme

$$\frac{d^2 \tilde{x}(t)}{dt^2} + \gamma \frac{d\tilde{x}(t)}{dt} + \omega_0^2 \tilde{x}(t) = \frac{q}{m} \tilde{E}(t), \quad (13.17)$$

kde jsme zavedli kruhovou frekvenci $\omega_0 = \sqrt{\frac{k_H}{m}}$ jako vlastní frekvenci kmitů netlumeného oscilátoru.

Rovnice 13.17. je diferenciální rovnicí druhého řádu s nenulovou pravou stranou. Její obecné řešení je součet řešení homogenní rovnice (pravá strana = 0) a partikulárního řešení nehomogenní rovnice. Řešení homogenní rovnice $\ddot{x}(t) + \gamma \dot{x}(t) + \omega_0^2 x(t) = 0$ pro $t \rightarrow \infty$ konverguje k nule. Vlastní kmity se tedy po dostatečně dlouhé době utlumí. Nebudeme dále diskutovat přechodové jevy, ale budeme se zabývat jen kmity po uplynutí velmi dlouhé ("∞") doby od počátku působení elektrického pole. Řešení nehomogenní rovnice budeme hledat ve tvaru $\tilde{x}(t) = \tilde{x}_0 e^{-i\omega t}$. Dosazením $\tilde{x}(t) = \tilde{x}_0 e^{-i\omega t}$ pro **vynucené kmity** dostaneme

$$[(-i\omega)^2 \tilde{x}_0 - i\omega\gamma \tilde{x}_0 + \omega_0^2 \tilde{x}_0] e^{-i\omega t} = \frac{q}{m} E_0 e^{-i\omega t}, \quad (13.18)$$

$$\tilde{x}_0 (\omega_0^2 - \omega^2 - i\gamma\omega) = \frac{q}{m} E_0,$$

$$\tilde{x}_0 = \frac{qE_0}{m} \frac{1}{\omega_0^2 - i\gamma\omega - \omega^2}.$$

To představuje příspěvek k objemové hustotě dipólového momentu (polarizaci) P od daného typu oscilátoru

$$\begin{aligned} \Delta \tilde{P}_x(t) &= Nq\tilde{x} = Nq\tilde{x}_0 e^{-i\omega t} = \frac{Nq^2 E_0}{m} \frac{1}{\omega_0^2 - i\gamma\omega - \omega^2} e^{-i\omega t} = \\ &= \Delta \tilde{\chi}(\omega) E_0 e^{-i\omega t} \end{aligned} \quad (13.19)$$

a příspěvek k susceptibilitě od tohoto typu oscilátorů je

$$\Delta \tilde{\chi}(\omega) = \frac{Nq^2}{\varepsilon_0 m} \frac{1}{\omega_0^2 - i\gamma\omega - \omega^2}. \quad (13.20)$$

Pokud tlumení γ nelze zanedbat, jsou susceptibilita $\tilde{\chi}(\omega)$, permitivita $\tilde{\varepsilon}_r(\omega)$ a polarizace \tilde{P} komplexní veličiny. Vztah pro příspěvek k susceptibilitě od jednoho typu oscilátoru můžeme upravit pro rozdělení na reálnou a imaginární část

$$\begin{aligned} \Delta \tilde{\chi}(\omega) &= \frac{Nq^2}{\varepsilon_0 m} \frac{1}{\omega_0^2 - i\gamma\omega - \omega^2} = \frac{Nq^2}{\varepsilon_0 m} \frac{\omega_0^2 - \omega^2 + i\gamma\omega}{(\omega_0^2 - \omega^2)^2 + (\gamma\omega)^2} = \\ &= \frac{Nq^2}{\varepsilon_0 m} \frac{\omega_0^2 - \omega^2}{(\omega_0^2 - \omega^2)^2 + (\gamma\omega)^2} + \frac{Nq^2}{\varepsilon_0 m} \frac{i\gamma\omega}{(\omega_0^2 - \omega^2)^2 + (\gamma\omega)^2} = \\ &= \Delta \chi_R(\omega) + i\Delta \chi_I(\omega). \end{aligned} \quad (13.21)$$

Uvedený výraz pro $\Delta\tilde{\chi}(\omega)$ představuje příspěvek k susceptibilitě od jednoho typu oscilátorů v látce. Látka, ve které by se vyskytoval pouze jediný typ oscilátoru, neexistuje. Rejstřík mechanismů absorpce elektromagnetického vlnění je velmi široký: od kmitání téměř volných nosičů náboje s $\omega_0 \rightarrow 0$, přes reorientace dipólů (např. molekuly vody v mikrovlnné troubě), kmitů iontů v mikrovlnné a infračervené oblasti, kmity elektronových oblaků v atomech či molekulách ve viditelné a ultrafialové oblasti až po oblast rentgenovou. Přitom při námi uvažované podmínce, že výchylky kmitů nejsou příliš veliké (platí lineární superposice polí i výchylek nábojů), je **aditivním parametrem susceptibilita**, což plyne z toho, že se skládají polarizace \mathbf{P}_l od jednotlivých typů oscilátorů l

$$\tilde{\chi}(\omega) = \sum_l \tilde{\chi}_l(\omega) = \sum_l \chi_{Rl}(\omega) + i \sum_q \chi_{Il}(\omega),$$

$$\tilde{\epsilon}_r(\omega) = 1 + \tilde{\chi}(\omega) = 1 + \sum_q \chi_{Rl}(\omega) + i \sum_q \chi_{Il}(\omega).$$

Experimentální hodnoty koeficientů $\frac{N_l q_l^2}{\epsilon_0 m_l}$ obecně neodpovídají hodnotám např. náboje a hmotnosti volných elektronů pro oscilátory, které by měly popisovat polarizaci vyvolanou právě pohybem elektronových oblaků. Proto při odhadech velikosti tohoto členu je potřeba používat efektivní hodnoty, např. efektivní hodnoty elektronů v krystalických látkách či efektivní náboje v popisu kmitů iontů. Ani to však nepostačuje a proto je k tomuto členu přidáván ještě další koeficient zvaný **síla oscilátoru** f_l . V aproximaci, že všechny mechanismy lze popsat uvedeným modelem oscilátoru, bychom dostali

$$\tilde{\epsilon}_r(\omega) = 1 + \sum_l \frac{N_l q_l^2}{\epsilon_0 m_l} f_l \frac{\omega_{0l}^2 - \omega^2 + i\gamma_l \omega}{(\omega_{0l}^2 - \omega^2)^2 + (\gamma_l \omega)^2},$$

kde $N_l, q_l, m_l, \omega_{0l}, \gamma_l$ jsou efektivní hodnoty parametrů pro oscilátory typu l . Samozřejmě takový model je značně naivní, protože zanedbává vzájemné působení kmitajících objektů přes lokální pole, o kvantových zákonitostech nemluvě. Pro reálnou část permitivity $\text{Re}\{\tilde{\epsilon}_r\} = \epsilon_R$ je

$$\begin{aligned} \epsilon_R(\omega) &= n^2 - \kappa^2 = 1 + \sum_l \chi_{Rl}(\omega) = \\ &= 1 + \sum_l \frac{N_l q_l^2}{\epsilon_0 m_l} f_l \frac{\omega_{0l}^2 - \omega^2}{(\omega_{0l}^2 - \omega^2)^2 + (\gamma_l \omega)^2} \end{aligned} \quad (13.22)$$

a pro imaginární část $\text{Im}\{\tilde{\epsilon}_r\} = \epsilon_I$ je

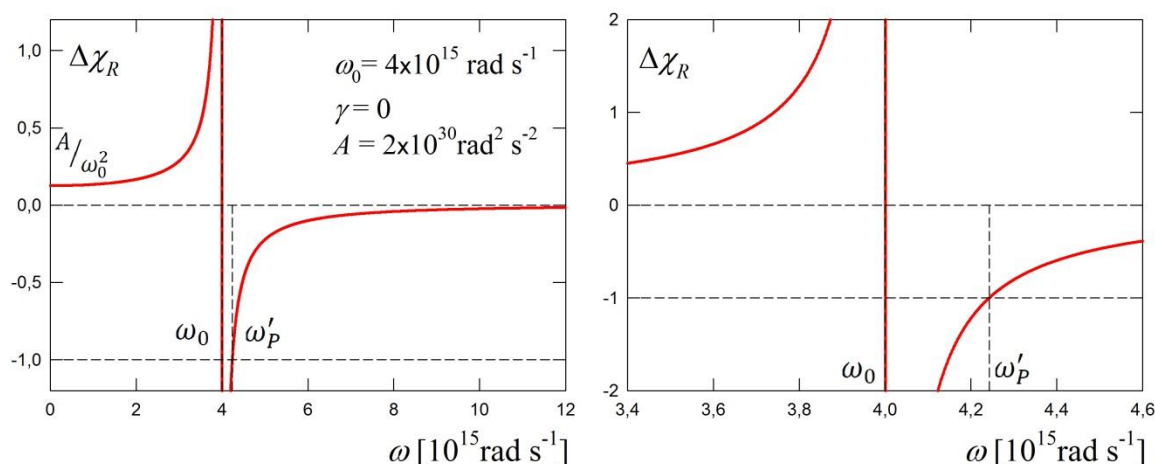
$$\epsilon_I(\omega) = 2n\kappa = \sum_l \chi_{Il}(\omega) = \sum_l \frac{N_l q_l^2}{\epsilon_0 m_l} f_l \frac{\gamma_l \omega}{(\omega_{0l}^2 - \omega^2)^2 + (\gamma_l \omega)^2}.$$

Při popisu parametrů v dalších obrázcích budeme užívat zkratku

$$A_l = \frac{N_l q_l^2}{\varepsilon_0 m_l} f_l$$

Síla oscilátoru f_l má vztah ke korektnějšímu pojednání o optických vlastnostech, totiž ke kvantově mechanickému pojmu **pravděpodobnost přechodu**, který je založen na integrálech vlnových funkcí kvantově mechanických stavů, mezi kterými se přechod absorbující foton o energii $\hbar\omega$ uskuteční. Kvantově mechanické modely vedou ke stejným či podobným spektrálním závislostem, ovšem s jiným významem koeficientu před členem popisujícím spektrální závislostí.

Pro osvětlení některých pojmů se podíváme na výsledek modelu pro **jeden typ oscilátoru bez tlumení**, $\gamma = 0$.



Obr. 13.3 Příspěvek k susceptibilitě od jednoho typu netlumeného oscilátoru

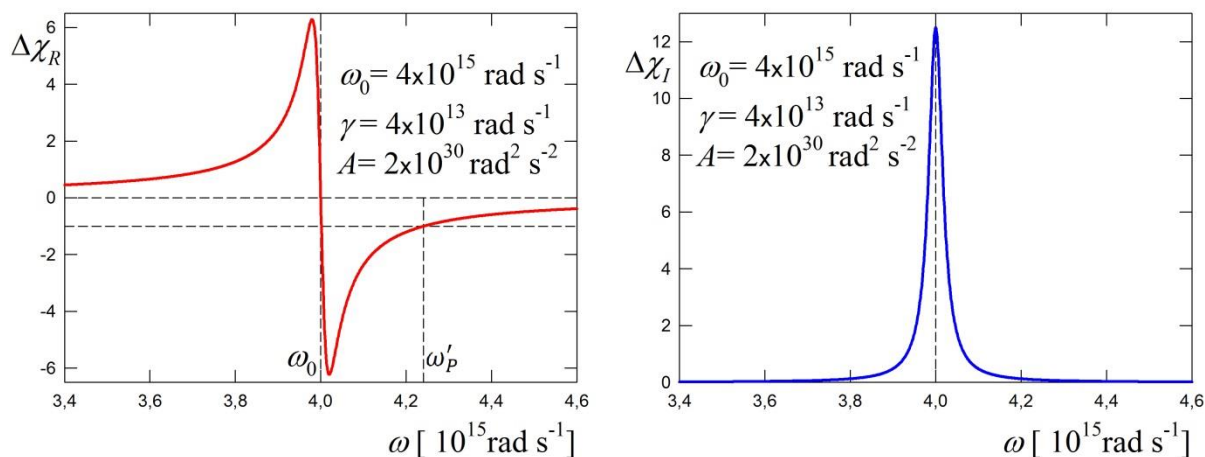
Susceptibilita je reálná. Pro $\omega < \omega_0$ kmitají elektrické pole E , polarizace P i elektrická indukce D ve fázi. V limitě nízkých frekvencí je příspěvek $\Delta\chi_R(\omega \rightarrow 0) = \frac{A}{\omega_0^2} > 0$. Pro případ přítomnosti mnoha typů oscilátorů dostaneme $\chi_R(\omega \rightarrow 0) = \sum_l \frac{A_l}{\omega_{0l}^2}$.

Při $\omega = \omega_0$ susceptibilita diverguje, polarizace by byla $P(\omega_0) \rightarrow \pm\infty$. V případě nenulového tlumení tato potřeba odpadá.

Zajímavá je spektrální oblast $\omega_0 < \omega < \omega'_P$, kde $\omega'_P = \sqrt{\omega_0^2 + A}$ dostaneme ze vztahu $\Delta\chi_R(\omega'_P) = -1$ a $\Delta\chi_R(\omega_0 < \omega < \omega'_P) < -1$. Takže v protifázi k vnějšímu elektrickému poli kmitá nejen polarizace, ale dokonce i indukce D . V jednooscilátorovém modelu by byla permitivita $\varepsilon(\omega'_P) = 0$, tj. $D = 0$, neboli $P = -\varepsilon_0 E$. Přítomnost tlumení a přítomnost dalších typů oscilátorů sice situaci v reálných látkách významně komplikují, přesto (pokud podobná situace nastane) je výsledkem vysoká odrazivost v části této spektrální oblasti.

V limitě vysokých frekvencí je $\Delta\chi_R(\omega \rightarrow \infty) = 0$, přičemž $\Delta\chi_R(\omega_0 < \omega) < 0$ a to pro všechny typy oscilátorů.

Důsledek zavedení nepříliš silného, ale nenulového tlumení pro uvedený model jediného typu oscilátoru je na obr. 13.4.



Obr. 13.4 Příspěvky k reálné a imaginární části susceptibilitě od jednoho typu lorentzovského oscilátoru. Kruhové frekvenci $\omega_0 = 4 \times 10^{15} \text{ rad s}^{-1}$ odpovídá vlnová délka 471 nm.

V další části uvedeme výsledky zjednodušených modelů, které předpokládají pouze jediný typ spektrálně osamoceneného lorentzovského oscilátoru (v následujícím bez indexu) ve sledované spektrální oblasti a příspěvky jiných mechanismů interakce (např. interakce pole – elektrony, pole – ionty, pole – natáčení dipólových momentů přítomných v látce atp.) jsou hrubě simulovány jako konstantní příspěvek k reálné části permitivity, tj. i k indexu lomu, viz **Dodatek 13.6**.

$$\varepsilon_R(\omega) = n_{MED}^2 + A \frac{\omega_0^2 - \omega^2}{(\omega_0^2 - \omega^2)^2 + (\gamma\omega)^2}, \quad (13.23)$$

$$\varepsilon_I(\omega) = A \frac{\gamma\omega}{(\omega_0^2 - \omega^2)^2 + (\gamma\omega)^2}.$$

Obrázky 13.5 až 13.7 jsou nakresleny pro různě silné oscilátory z oblasti typické pro absorpci způsobenou vázanými elektrony. Z obrázků je patrné, že imaginární část susceptibilitě (a permitivity) má maximum poblíž frekvence ω_0 , kdy dochází k maximální absorpci výkonu elektromagnetického pole.

Reálná a imaginární část indexu lomu nejsou aditivní veličiny, jejich průběh nelze vyjádřit jako součet příspěvků jednotlivých oscilátorů. Průběh frekvenční závislosti reálné části indexu lomu n má poměrně komplikovaný průběh. V části I (obr. 13.5) od malých frekvencí až do jisté frekvence index lomu s frekvencí roste. Takovým oblastem frekvencí říkáme oblasti **normální disperze**. Např. při průchodu slunečního světla atmosférou jsou rezonanční frekvence molekul plynů atmosféry výrazně vyšší než frekvence viditelného světla. Z pohledu našeho modelu se

tedy viditelný obor spektra nachází v oblasti normální disperze I. To vede k vyšší interakci vln s vyššími frekvencemi s molekulami plynů atmosféry a následně k vyššímu rozptylu na nehomogenitách koncentrace molekul. Více se rozptyluje modrá barva než červená. Pokud se pozorovatel dívá během slunečného dne na oblohu, vidí rozptýlené, tedy převážně modré světlo.

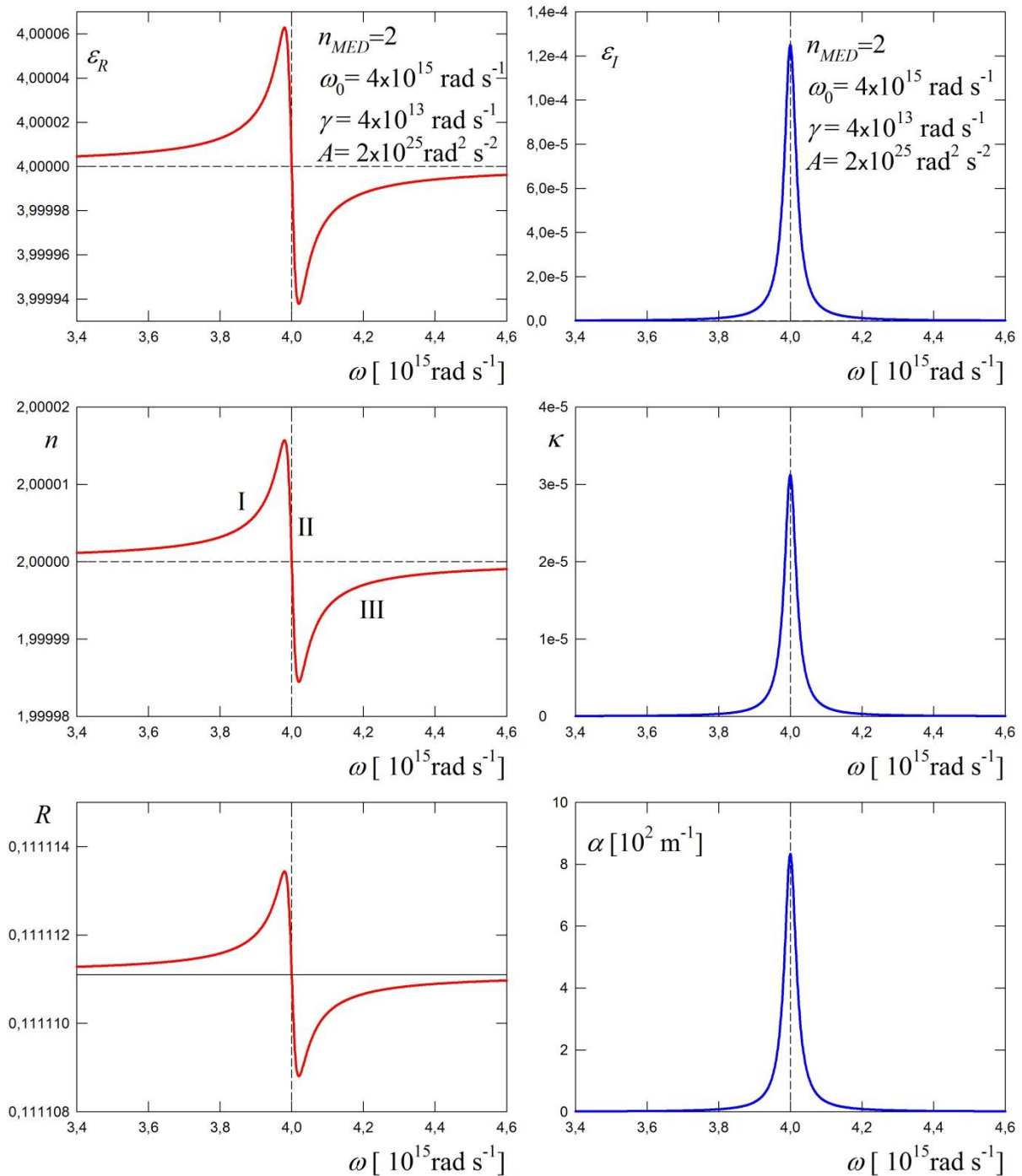
V oblasti kolem rezonanční frekvence naopak index lomu s frekvencí klesá. Tuto oblast nazýváme oblastí **anomální disperze**. Šířka této oblasti souvisí hlavně s velikostí tlumení; s rostoucím tlumením se oblast II rozšiřuje. V této oblasti dochází k silné absorpci záření, protože koeficient κ , a tím i absorpční koeficient $\alpha = 2 \frac{\omega}{c} \kappa$ nabývají značných hodnot.

Od určité frekvence index lomu opět roste. Jedná se tedy opět o oblast normální disperze (část III v obr. 13.5).

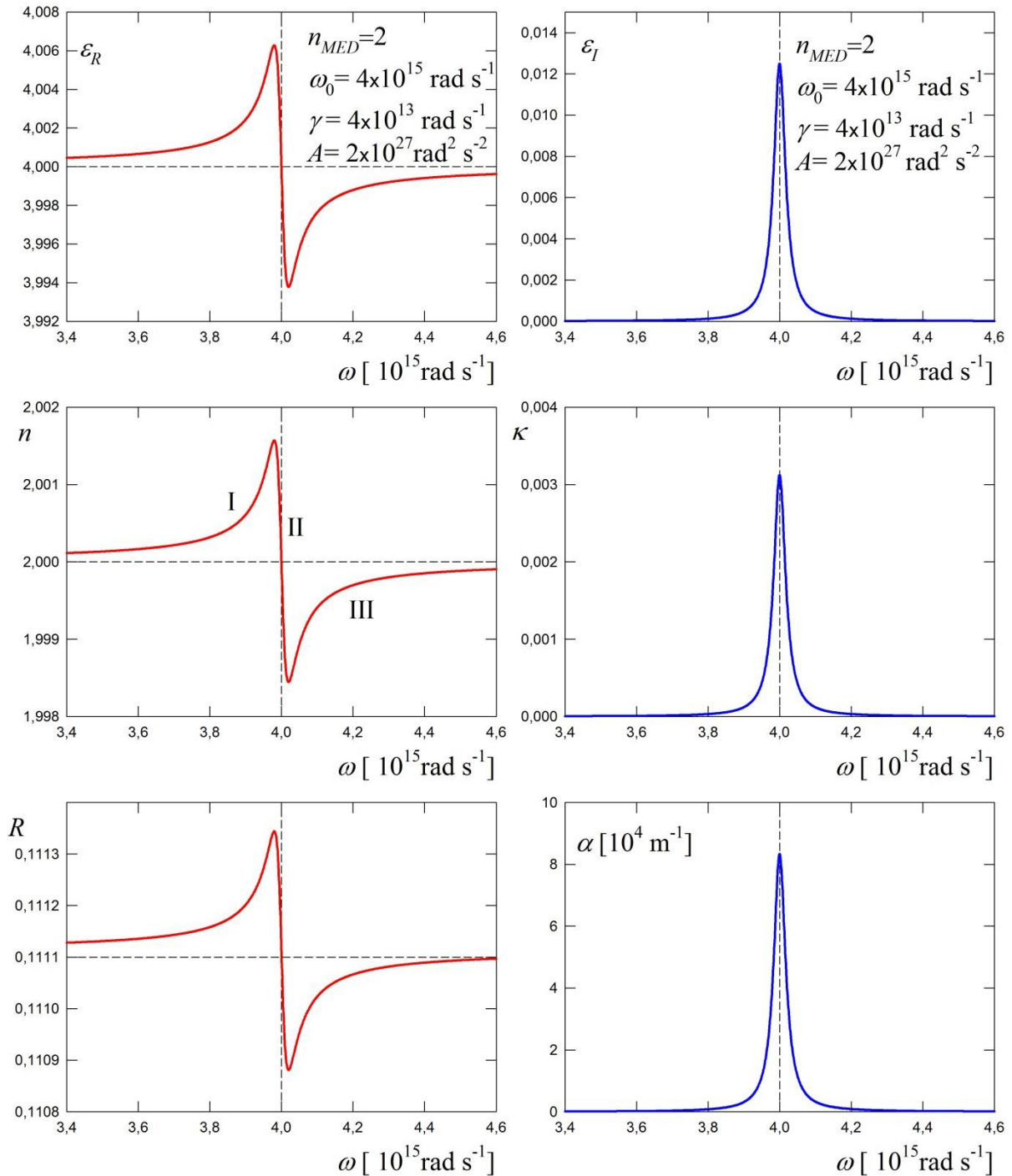
Průběh $R(\omega)$ je zobrazen na obrázcích 13.5 -13.8 pro stejné parametry, pro které byly vypočteny průběhy reálné a imaginární závislosti indexu lomu na frekvenci.

Na obrázku 13.5 jsou uvedeny výsledky modelu vedoucího ke „středním“ hodnotám absorpčního koeficientu α , který lze pohodlně měřit z propustnosti vzorku tvaru destičky. Příslušné změny v reálné části permitivity a indexu lomu jsou velmi nepatrné. S tím souvisí i „pěkný“, symetrický tvar absorpčního pásu kolem frekvence ω_0 . Do jisté míry to platí i pro poněkud „silnější“ oscilátor na obr. 13.6.

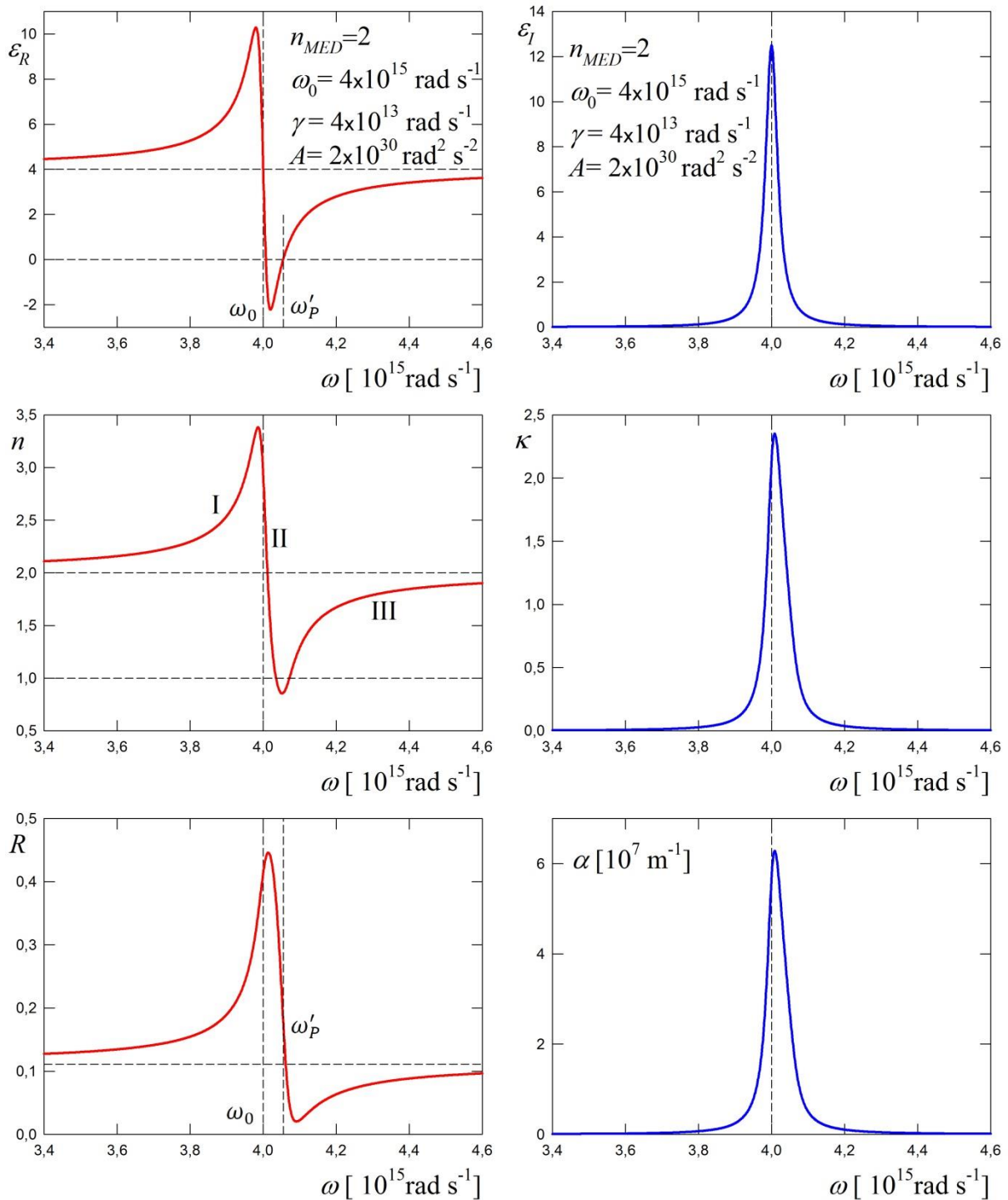
Na obr. 13.7 jsou zakresleny výsledky modelu silného oscilátoru, kdy spektrální závislosti reálné části permitivity i reálné části indexu lomu jsou již podstatné. Pro takto dostatečně silný oscilátor nastává dokonce $\varepsilon_R(\omega'_p) = 0$ a v jisté části spektra dojde i k záporné hodnotě ε_R a k indexu lomu $n < 1$. Důsledkem je silná odrazivost poblíž frekvence ω_0 a jasně nesymetrický absorpční pás.



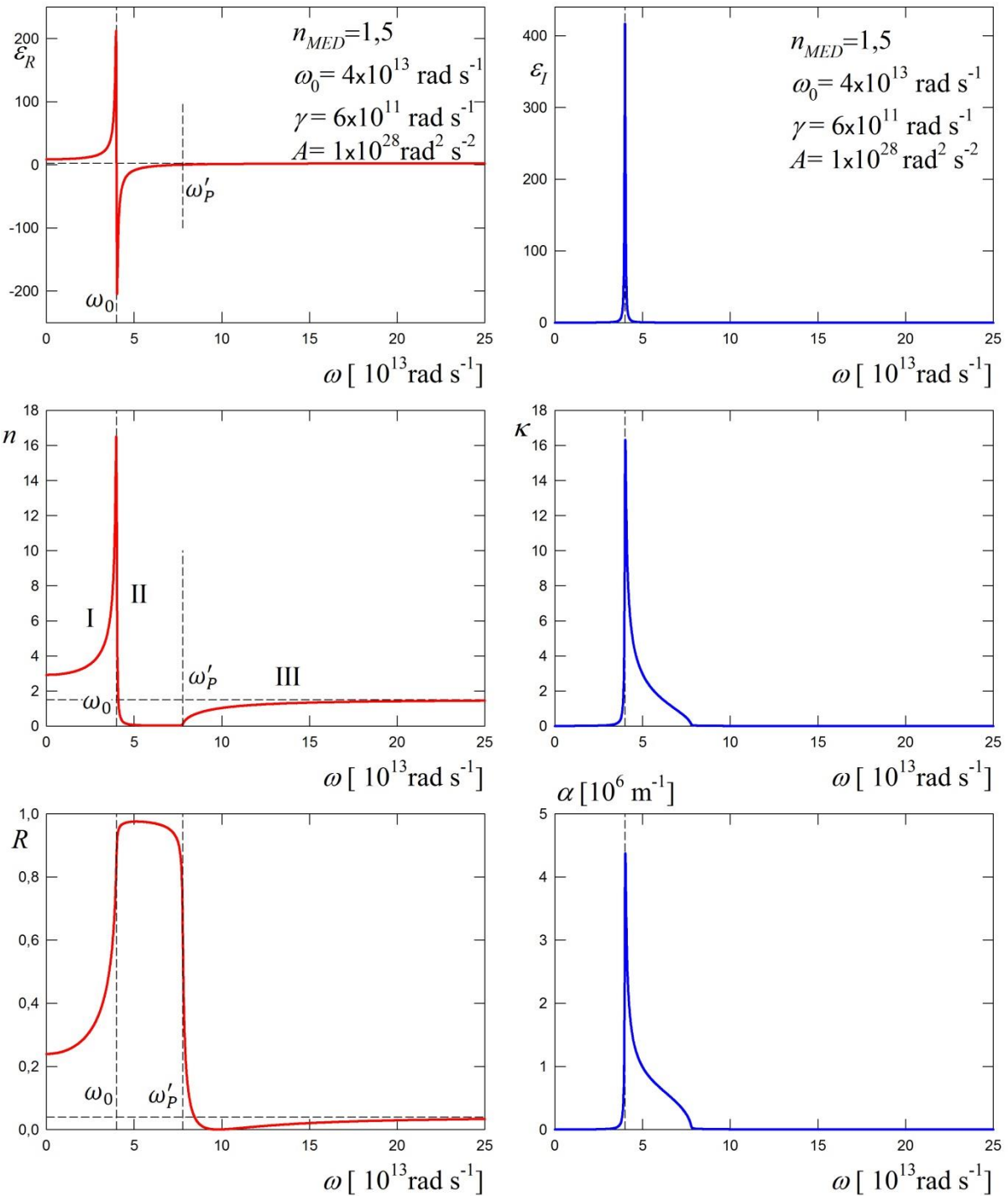
Obr. 13.5 Výsledky modelu s jedním typem nepřilíš silného oscilátoru posazeným do materiálu se základním konstantním indexem lomu $n_{MED} = 2$. Absorpční koeficient $\alpha = 800 \text{ m}^{-1} = 8 \text{ cm}^{-1}$ znamená redukci intenzity záření na 1% na dráze 5,8 mm. Změny odrazivosti v oblasti takového absorpčního pásu jsou zcela nepatrné. Takže měření propustnosti je nejpohodlnější metoda, což platí i pro mnohem slabší spektrální absorpční pásy.



Obr. 13.6 Výsledky modelu s jedním typem poměrně silného oscilátoru posazeným do materiálu se základním konstantním indexem lomu $n_{MED} = 2$. Absorpční koeficient $\alpha = 8 \times 10^4 \text{m}^{-1} = 800 \text{cm}^{-1}$ znamená redukci intenzity záření na 1% na dráze $58 \mu\text{m}$. Změny odrazivosti v oblasti takového absorpčního pásu jsou velmi malé. Příprava vzorků mikronových tlouštěk pro transmisní měření může být u některých materiálů obtížná.



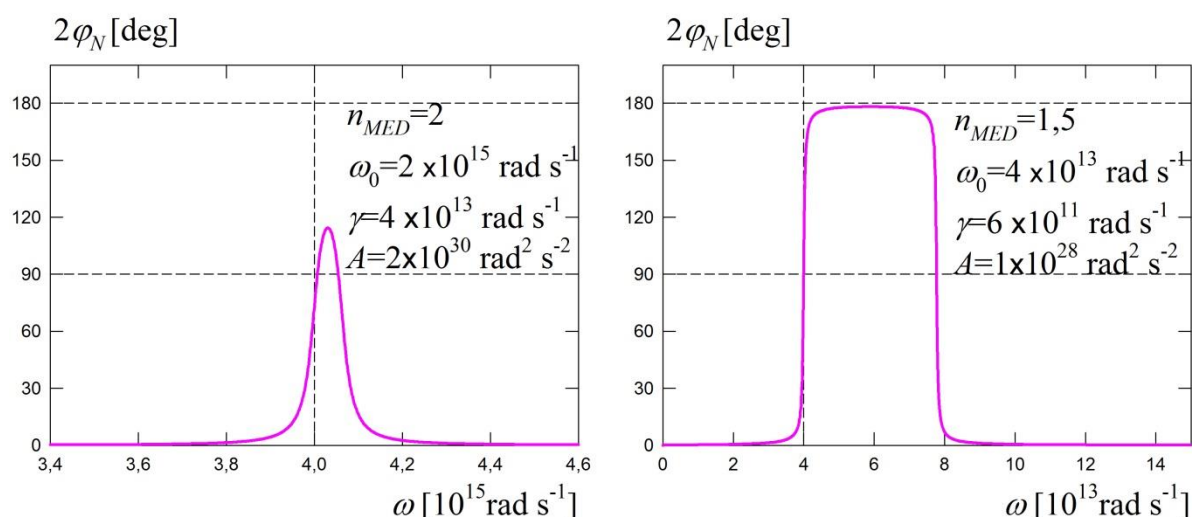
Obr. 13.7 Výsledky modelu s jedním typem extrémně silného oscilátoru posazeným do materiálu se základním konstantním indexem lomu $n_{MED} = 2$. Kruhová frekvence $\omega_0 = 4 \times 10^{15} \text{ rad s}^{-1}$ odpovídá vlnové délce 471 nm. Index lomu 2 znamená, že výkonová odrazivost je 0,111. Velmi vysoký absorpční koeficient $\alpha = 6 \times 10^7 \text{ m}^{-1} = 6 \times 10^5 \text{ cm}^{-1}$ znamená redukci intenzity záření na 1% na dráze 77 nm, což je podstatně kratší než vlnová délka. V takovém případě je adekvátním experimentem měření odrazivosti. Oblasti I a III označují oblasti normální disperze indexu lomu, II je oblast anomální disperze.



Obr. 13.8 Výsledky modelu s jedním typem silného oscilátoru, který v hrubých rysech odpovídá vlastnostem iontových krystalů v infračervené oblasti. Typická je přitom oblast vysoké odrazivosti, kde kmity iontů s vysokým efektivním nábojem zabraňují elektromagnetickému poli vnikat do materiálu. Na vysokofrekvenční konec pásu vysoké odrazivosti navazuje oblast téměř nulové odrazivosti a výborné propustnosti. Oblast rychlého pádu R bývá nazývána reflexní hrana. Oblast vysoké absorpce je omezena na těsné okolí frekvence ω_0 , kde je vlna silně utlumena na vzdálenost menší než je vlnová délka.

Na obr. 13.8 jsou výsledky modelu, který zjednodušeně imituje optické vlastnosti iontových krystalů v infračervené oblasti spektra. Typická je oblast velmi malého indexu lomu ($n \rightarrow 0$) spojená s velmi vysokou odrazivostí, kdy ionty v látce kmitají v protifázi (obr. 13.9) ke vnějšímu dopadajícímu poli E , vytvářejí velmi silné pole odraženého záření (již od 19. století známé jako „Reststrahlen bands“) a úspěšně zeslabují pole uvnitř látky. Fázová rychlost může být mnohem větší než rychlost c . Jinými slovy: vlnová délka v materiálu je mnohem větší než vlnová délka ve vakuu při stejné frekvenci. Ovšem je třeba si uvědomit, že v těchto případech dochází k výraznému útlumu na vzdálenostech podstatně menších než vlnová délka.

Jak již bylo zmíněno (rovnice 13.6 -13.8), absorpce energie vlny v látce je spojena s fázovými posuvy mezi základními veličinami, totiž o fázový posun φ_N mezi magnetickým polem vlny H a elektrickým polem E budícím kmitu a o fázový úhel $2\varphi_N$ mezi elektrickou indukcí D a elektrickým polem E . K nejvýraznějším fázovým rozdílům dochází v okolí rezonanční frekvence. U velmi silných oscilátorů může dokonce nastat situace, kdy se úhel $2\varphi_N$ blíží k 180° a elektrická indukce D kmitá téměř v protifázi k budícímu elektrickému poli, jak je naznačeno na obr. 13.9.



Obr. 13.9. Fázové rozdíly mezi elektrickou indukcí a elektrickým polem $2\varphi_N$ pro případy velmi silných absorpčních pásů uvedených na obr. 13.7 a 13.8

Pokud se zajímáme o (téměř) neabsorbující typická dielektrika v blízké a viditelné spektrální oblasti, převažují kladné příspěvky k χ_R od oscilátorů s vyššími ω_{0l} (normální disperze v oblasti I). Z toho plyne typická spektrální závislost indexu lomu $n(\omega) = \sqrt{1 + \chi_R(\omega)}$, který se monotónně zvyšuje s rostoucí frekvencí (klesající vlnovou délkou). Tyto závislosti bývají aproximovány různými, více či méně složitými vztahy a pro technicky významné látky (např. různé typy skel) jsou tabelovány. Jen jako jednoduché příklady **uved'me Cauchyovu disperzní formuli** pro neabsorbující plyny

$$n(\lambda) \cong 1 + A \left(1 + \frac{B}{\lambda^2} \right) \quad (13.26)$$

nebo **Sellmeierovu rovnici** běžně užívanou pro technickou charakterizaci optických skel

$$n^2(\lambda) \cong 1 + \sum_{l=1}^3 \frac{B_l \lambda^2}{\lambda^2 - C_l} \quad (13.27)$$

kde koeficienty B_l a C_l jsou pro jednotlivé typy skel tabelovány.

Pro spektrálně „osamocené“ oscilátory, které nejsou extrémně silné, se používá pro absorpční koeficient aproximace zvaná **Lorentzův tvar absorpčního pásu**. Příslušné aproximace spočívají v tom, že:

- reálná část indexu lomu se v oblasti pásu nemění $n(\omega) \cong n = konst.$
- $\omega_0^2 - \omega^2 = (\omega_0 + \omega)(\omega_0 - \omega) \cong 2\omega (\omega_0 - \omega)$

$$\begin{aligned} \alpha(\omega) &= 2 \frac{\omega}{c} \kappa = 2 \frac{\omega}{c} \frac{\chi_I}{2n} = \frac{\omega}{nc} A \frac{\gamma \omega}{(\omega_0^2 - \omega^2)^2 + (\gamma \omega)^2} \cong \\ &\cong A \frac{\omega^2}{nc} \frac{1}{\omega^2} \frac{\gamma}{4(\omega_0 - \omega)^2 + \gamma^2} = \frac{A}{4nc} \frac{\gamma}{(\omega_0 - \omega)^2 + \gamma^2/4} \end{aligned} \quad (13.28)$$

Drudeův model – odezva vodivého prostředí na elektromagnetickou vlnu

Drudeův model popisuje odezvu látek s volně pohyblivými náboji (ionty v plynném plazmatu, např. v zemské ionosféře, elektrony v dopovaných polovodičích a v kovech), které nejsou vázány k rovnovážným polohám, na budící harmonickou monochromatickou elektromagnetickou vlnu. V souladu s předchozím výkladem se omezíme na model zahrnující pouze vliv elektrické složky pole. V pohybové rovnici 13.14 položíme vazební konstantu $k_H = 0$. Pro tento případ z rovnice 13.23 dostaneme pro relativní permitivitu modelové látky, která obsahuje pouze **1 typ volných nosičů** náboje a **žádné lorentzovské oscilátory** či jiné mechanismy interakce elektromagnetického pole s látkou

$$\varepsilon_r(\omega) = 1 + \frac{Nq^2}{\varepsilon_0 m} \frac{1}{-i\gamma\omega - \omega^2} = 1 - \frac{\omega_p^2}{i\gamma\omega + \omega^2},$$

kde $\sqrt{\frac{Nq^2}{\varepsilon_0 m}} = \omega_p$ je nazývána **plazmová frekvence**. Jedná se o charakteristickou frekvenci prostředí, pokud uvažujeme pouze volně pohyblivé (nevázané) náboje. V kovech se nachází v ultrafialové části spektra, v polovodičích je v infračervené oblasti.

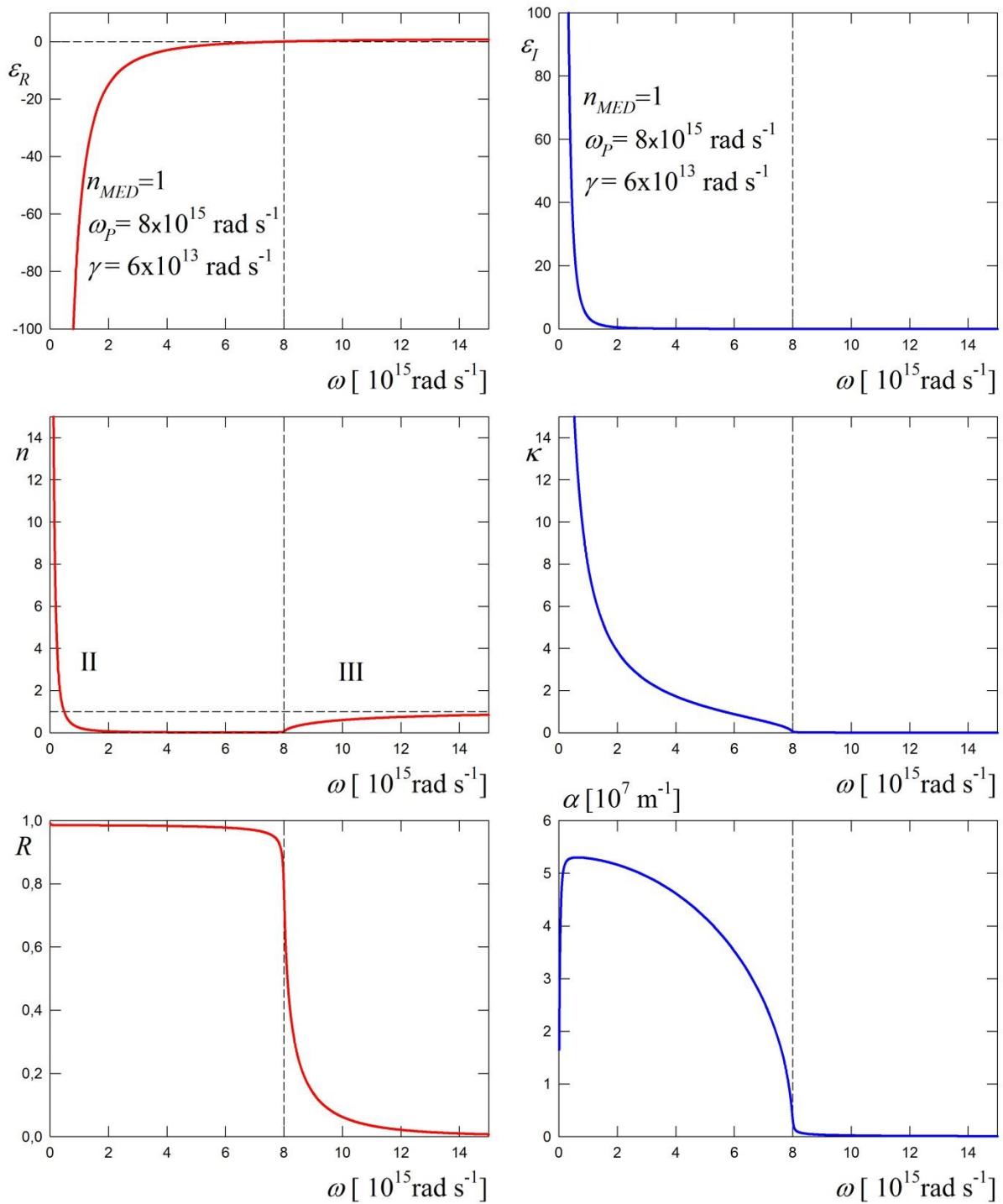
Výpočtem reálné a imaginární části výrazu dostaneme pro reálnou a imaginární část permitivity takové modelové látky”

$$\varepsilon_R = n^2 - \kappa^2 = 1 - \frac{\omega_p^2 \omega^2}{\omega^4 + \gamma^2 \omega^2} = 1 - \frac{\omega_p^2}{\omega^2 + \gamma^2},$$

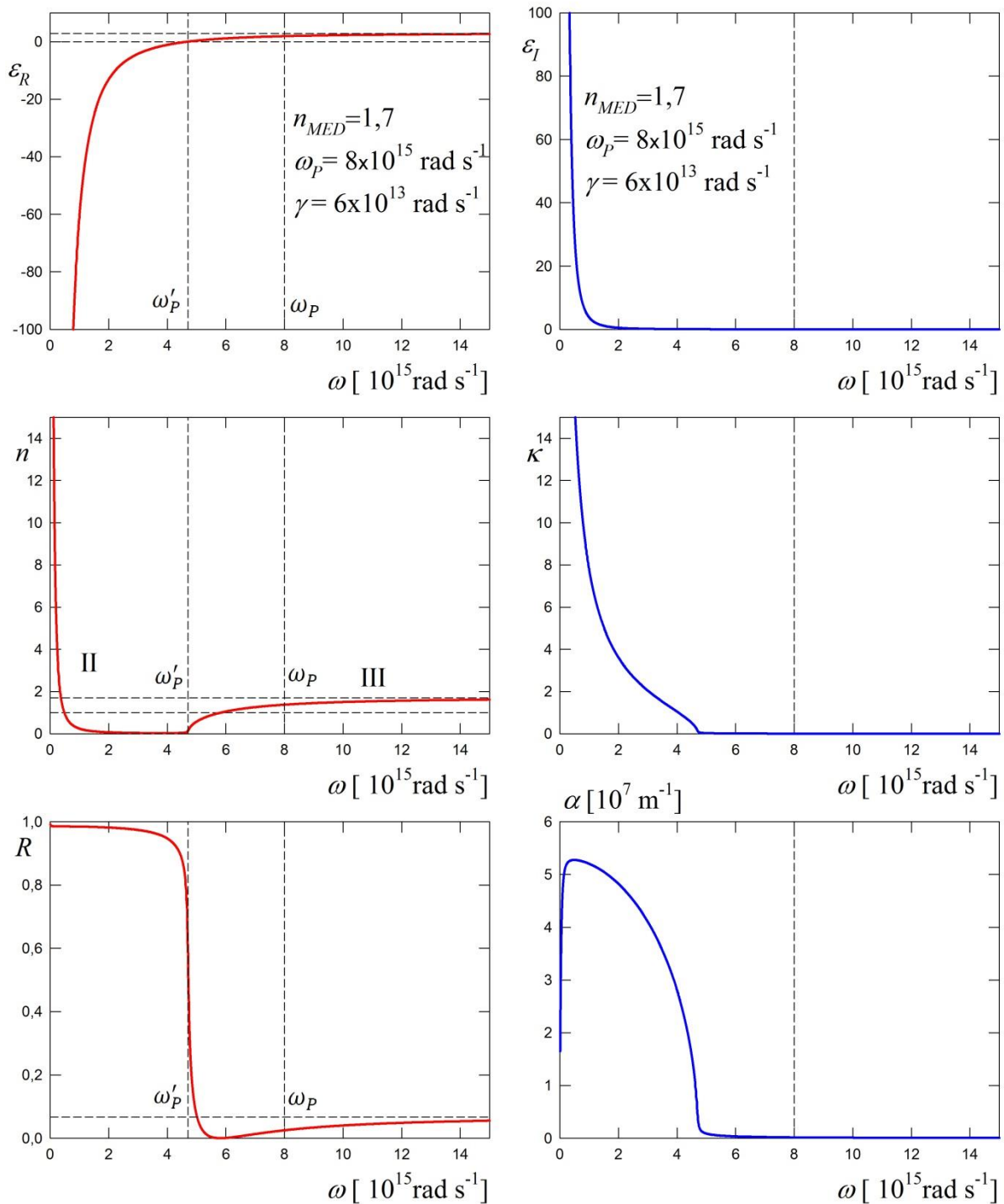
$$\varepsilon_I = 2n\kappa = \frac{\gamma \omega_p^2}{\omega^3 + \gamma^2 \omega}.$$

Z těchto rovnic pak můžeme vyjádřit $n(\omega)$ a $\kappa(\omega)$. Frekvenční závislost těchto veličin je zobrazena na obr. 13.10. Jako velmi typický rys se jeví silný pokles odrazivosti s rostoucí frekvencí právě u plasmové frekvence ω_p , též nazývaný reflexní hrana. Je zjevné, že pod plazmovou frekvencí dochází k silné absorpci záření ($\kappa > 0$, a tedy i absorpční koeficient $\alpha > 0$). Naopak nad plazmovou frekvencí jsou tyto veličiny malé a vodivé prostředí elektromagnetické záření daných frekvencí propouští.

Stejně jako v případě Lorentzových oscilátorů, i v případě Drudeova modelu jsou závislosti $n(\omega)$ a $\kappa(\omega)$ ovlivněny přítomností další mechanismů interakce. Na obr.13.11. je nakreslen zjednodušený model, kdy jsou optické parametry ovlivněny pouze přidáním konstantního reálného indexu lomu n_{MED} . Důsledkem je změna frekvence, při které je $\varepsilon_R = 0$. Je též patrné odsunutí reflexní hrany od plasmové frekvence. Tento jev je velmi výrazně pozorovatelný např. ve spektrální závislosti odrazivosti zlata, kdy plasmová frekvence spočtená z koncentrace volných elektronů a jejich parametrů (efektivní hmotnost) se nachází podobně jako u mnoha jiných kovů v ultrafialové oblasti spektra, ale vlivem právě jiných absorpčních mechanismů je posunuta z UV oblasti k vlnové délce zhruba 540 nm, tj. do viditelné oblasti. Zlato tak v menší míře odráží zelené a modré světlo než světlo červené a to způsobuje jeho žlutavou barvu. V jiných kovech (stříbro, hliník) ovlivnění posuvu reflexní hrany od plasmové není tak silné a tyto kovy odrážejí dobře v celém viditelném oboru.



Obr. 13.10 Základní parametry (reálná a imaginární část relativní permitivity, reálná a imaginární část indexu lomu, výkonový koeficient odrazivosti a absorpční koeficient) v „čistém“ Drudeově modelu, když předpokládáme, že k vlastnostem nepřispívají jiné mechanismy než pohyb volných nábojů. Takový případ však není reálný.



Obr. 13.11 Základní parametry (reálná a imaginární část relativní permitivity, reálná a imaginární část indexu lomu, výkonový koeficient odrazivosti a absorpční koeficient) v modelu, když předpokládáme, že k vlastnostem přispívají i jiné mechanismy než pohyb volných nábojů. V uvedeném modelu jsou tyto mechanismy velmi hrubě zahrnuty jako příspěvek n_{MED} k indexu lomu nezávislý na frekvenci. V porovnání s obr. 13.10 je zřejmé, že i taková „malá“ úprava (pouze posunutí hranice spektrální oblasti, kde je $\epsilon_R < 0$) má významné důsledky v posunu spektrálních charakteristik, jako je např. odsunutí reflexní hrany od plasmové frekvence.

Dodatek 13.1 Poznámky k propustnosti planparalelní desky

Vztah mezi propustností (její spektrální závislostí) zkoumaného vzorku ve tvaru (přibližně) planparalelní desky a absorpčním koeficientem není jednoduchý a závisí na geometrických charakteristikách vzorku i na charakteristice záření.

- a) Poměrně složitý je případ ideální geometrie vzorku ve tvaru přesně planparalelní desky a téměř monochromatického vlnění (velmi dlouhá koherenční délka podstatně větší než tloušťka vzorku d). Pokud absorpční koeficient není příliš velký a umožňuje efektivní uplatnění vícenásobných odrazů uvnitř vzorku, je propustnost vzorku modulována podobně jako pro neabsorbující vzorek v důsledku interferenčních jevů. Komplikací přitom je i skutečnost, že amplitudové koeficienty odrazu na rozhraní mají obecné fázové posuvy, tedy nejen 0 nebo π jako v případě neabsorbujících prostředí. Dosti složitý výraz pro propustnost vzorku v tomto případě zde nebudeme uvádět.
- b) Druhý limitní případ je charakteristický tím, že dojde k úplnému rozrušení interference ve smyslu sčítání příslušných polí, ale několikanásobné odrazy vedou k nekoherentnímu sčítání příslušných výkonových intenzit. K tomu dojde např. v důsledku geometrie vzorku, který má v různých místech různé tloušťky, jejichž rozdíly jsou větší než vlnová délka, nebo záření má menší koherenční délku než je tloušťka vzorku. Příslušný vztah pro propustnost vzorku T_S pak je

$$T_S = \frac{I_{OUT}}{I_{IN}} = \frac{(1 - R)^2 e^{-\alpha d}}{1 - R^2 e^{-2\alpha d}},$$

kde I_{OUT} a I_{IN} jsou intenzity záření v prostředí obklopujícím vzorek (tj. za vzorkem a před vzorkem) a R je výkonová odrazivost na rozhraních.

Obzvláště nepříjemnou konfigurací je stav, který můžeme označit jako přechod mezi možnostmi a) a b), kdy dojde pouze k útlumu interferenčních oscilací. V případě, kdy jsou interferenční oscilace spektrálně podstatně hustší než spektrální šířka absorpčních pásů, lze jejich vliv odstranit matematickým zpracováním.

Připomeňme, že výkonový koeficient odrazu pro kolmý dopad z vakua je

$$R = \frac{n + i\kappa - 1}{n + i\kappa + 1} \frac{n - i\kappa - 1}{n - i\kappa + 1} = \frac{(n - 1)^2 + \kappa^2}{(n + 1)^2 + \kappa^2}.$$

- c) Situace se podstatně zjednoduší pro dostatečně tlusté vzorky s dostatečným absorpčním koeficientem, kdy je $R^2 e^{-2\alpha d} \ll 1$ a vztah pro propustnost je

$$T_S = \frac{I_{OUT}}{I_{IN}} \cong (1 - R)^2 e^{-\alpha d}.$$

d) V řadě případů můžeme vliv R eliminovat buď výpočtem, nebo porovnáním s podobným vzorkem, který neobsahuje absorbující látku. Typickým příkladem (hojně aplikovaným v chemii, biochemii apod.) je porovnání propustnosti roztoku látky v kyvetě s propustností rozpouštědla v kyvetě týchž parametrů. Tato měření zhusta slouží ke stanovení koncentrací látek v roztocích, viz Beerův příspěvek k Lambertovu–Beerovu zákonu.

V řadě případů nás nemusí zajímat velmi přesné hodnoty absorpčních koeficientů, ale jen jejich relativní změny ve spektru. Navíc v mnoha případech (nízké indexy lomu) je $(1 - R)^2 \cong 1$ a tak se dostáváme k často uváděnému „Lambertovu-Beerovu zákonu“

$$T_S = \frac{I_{OUT}}{I_{IN}} \cong e^{-\alpha d}.$$

V komerčních spektrometrech určených hlavně pro chemické a biochemické laboratoře je výsledek uváděn (vedle propustnosti vzorku) v hodnotách **absorbance**, což je záporný dekadický (nikoli přirozený) logaritmus propustnosti. Nezahrnuje tedy žádné zohlednění tloušťky vzorku ani jeho odrazivosti.

Lambertův zákon objevil a publikoval v roce 1729 Pierre **Bouguer**. V roce 1760 ho citoval Johann Heinrich Lambert.

Johann Heinrich **Lambert**, 1728 – 1777, švýcarský polyhistor (matematika, logika, filosofie, fyzika, optika, astronomie, kartografie,...): „Ztráty světelné intenzity při šíření v prostředí jsou přímo úměrné intenzitě a délce dráhy“.

August **Beer**, 1825 – 1863, německý fyzik, chemik, matematik: „Optická propustnost roztoku je konstantní, je-li konstantní součin koncentrace látky a délky dráhy“, (rok 1852).

Dodatek 13.2 Tlumená vlna splňuje Maxwellovy rovnice

V tomto Dodatku ověříme, že tlumená vlna zapsaná v komplexním formalismu, splňuje Maxwellovy rovnice. Alternativně bychom mohli předpokládaný tvar tlumeného elektrického pole \tilde{E}_x do Maxwellových rovnic dosadit a z nich dostat závislosti pro \tilde{H}_y a \tilde{D}_x .

Ověříme tedy, že vlna

$$\begin{aligned}\tilde{E}_x &= E_0 e^{i\tilde{\kappa}z} e^{-i\omega t}, \\ \tilde{D}_x &= E_0 \varepsilon_0 (n + i\kappa)^2 e^{i\tilde{\kappa}z} e^{-i\omega t}, \\ \tilde{H}_y &= E_0 \varepsilon_0 c (n + i\kappa) e^{i\tilde{\kappa}z} e^{-i\omega t}, \\ \tilde{B}_y &= \frac{1}{c} E_0 (n + i\kappa) e^{i\tilde{\kappa}z} e^{-i\omega t}\end{aligned}$$

splňuje Maxwellovy rovnice.

$$\operatorname{div} \tilde{\mathbf{D}} = \frac{\partial \tilde{D}_x}{\partial x} + \frac{\partial \tilde{D}_y}{\partial y} + \frac{\partial \tilde{D}_z}{\partial z} = 0 + 0 + 0 = 0,$$

$$\operatorname{div} \tilde{\mathbf{B}} = 0.$$

$$\operatorname{rot} \tilde{\mathbf{H}} = \frac{\partial \tilde{\mathbf{D}}}{\partial t},$$

$$\operatorname{rot} \tilde{\mathbf{H}} = \left(\frac{\partial H_z}{\partial y} - \frac{\partial H_y}{\partial z}, \frac{\partial H_x}{\partial z} - \frac{\partial H_z}{\partial x}, \frac{\partial H_y}{\partial x} - \frac{\partial H_x}{\partial y} \right) = \left(-\frac{\partial H_y}{\partial z}, 0, 0 \right),$$

$$-\frac{\partial H_y}{\partial z} = -i \mathcal{K} \varepsilon_0 c (n + i\kappa) E_0 e^{i\tilde{\mathcal{K}}z} e^{-i\omega t} =$$

$$= -\frac{i\omega}{c} \varepsilon_0 c (n + i\kappa)^2 E_0 e^{i\tilde{\mathcal{K}}z} e^{-i\omega t},$$

$$\frac{\partial D_x}{\partial t} = -i\omega \varepsilon_0 (n + i\kappa)^2 E_0 e^{i\tilde{\mathcal{K}}z} e^{-i\omega t}.$$

$$\operatorname{rot} \tilde{\mathbf{E}} = -\frac{\partial \tilde{\mathbf{B}}}{\partial t},$$

$$\operatorname{rot} \tilde{\mathbf{E}} = \left(\frac{\partial E_z}{\partial y} - \frac{\partial E_y}{\partial z}, \frac{\partial E_x}{\partial z} - \frac{\partial E_z}{\partial x}, \frac{\partial E_y}{\partial x} - \frac{\partial E_x}{\partial y} \right) = \left(0, \frac{\partial E_x}{\partial z}, 0 \right),$$

$$\frac{\partial E_x}{\partial z} = i \mathcal{K} E_0 e^{i\tilde{\mathcal{K}}z} e^{-i\omega t} = \frac{i\omega}{c} (n + i\kappa) E_0 e^{i\tilde{\mathcal{K}}z} e^{-i\omega t},$$

$$-\frac{\partial B_y}{\partial t} = \frac{i\omega}{c} (n + i\kappa) E_0 e^{i\tilde{\mathcal{K}}z} e^{-i\omega t}.$$

Uvedená monochromatická, rovinná, homogenní, tlumená, lineárně polarizovaná vlna splňuje všechny 4 Maxwellovy rovnice.

Dodatek 13.3 Objemová hustota energie elektromagnetické vlny a její ztráty

Časová střední hodnota hustoty elektrické energie v místě z v reálném popisu

$$\begin{aligned}
 \langle w_E \rangle_t &= \frac{1}{2} \langle \text{Re}\{E_x\} \text{Re}\{D_x\} \rangle_t = \\
 &= \frac{1}{2} \langle E_0 e^{-\frac{\omega}{c} \kappa z} \cos \xi \varepsilon_0 E_0 e^{-\frac{\omega}{c} \kappa z} (\varepsilon_R \cos \xi - \varepsilon_I \sin \xi) \rangle_t = \\
 &= \frac{1}{2} \varepsilon_0 E_0^2 e^{-2\frac{\omega}{c} \kappa z} [\varepsilon_R \langle \cos^2 \xi \rangle_t - \varepsilon_I \langle \cos \xi \sin \xi \rangle_t] = \\
 &= \frac{1}{4} \varepsilon_0 \varepsilon_R E_0^2 e^{-2\frac{\omega}{c} \kappa z} = \frac{1}{4} \varepsilon_0 (n^2 - \kappa^2) E_0^2 e^{-2\frac{\omega}{c} \kappa z},
 \end{aligned}$$

kde byla pro zkrácení zápisu zavedena zkratka

$$\xi = \frac{\omega}{c} n z - \omega t = k_R z - \omega t$$

a použito $\langle \cos^2 \xi \rangle_t = 1/2$ a $\langle \cos \xi \sin \xi \rangle_t = 0$.

Totéž za použití komplexní symboliky

$$\begin{aligned}
 \text{Re}\{\tilde{E}\} &= \frac{1}{2} (E_R + iE_I + E_R - iE_I) = \frac{1}{2} (\tilde{E} + \tilde{E}^*), \\
 \langle w_E \rangle_t &= \frac{1}{8} (\tilde{E}\tilde{D}^* + \tilde{E}^*\tilde{D}) = \frac{1}{8} \varepsilon_0 E_0^2 e^{-2\frac{\omega}{c} \kappa z} \times \\
 &\times \left[e^{i\frac{\omega}{c} n z} e^{-i\omega t} (\varepsilon_R - i\varepsilon_I) e^{-i\frac{\omega}{c} n z} e^{i\omega t} + e^{-i\frac{\omega}{c} n z} e^{i\omega t} (\varepsilon_R + i\varepsilon_I) e^{i\frac{\omega}{c} n z} e^{-i\omega t} \right] = \\
 &= \frac{1}{8} \varepsilon_0 E_0^2 e^{-2\frac{\omega}{c} \kappa z} 2\varepsilon_R = \frac{1}{4} \varepsilon_0 \varepsilon_R E_0^2 e^{-2\frac{\omega}{c} \kappa z}.
 \end{aligned}$$

Pro střední hodnotu velikosti Poyntingova vektoru můžeme napsat

$$\begin{aligned}
 \langle S_z(z) \rangle_t &= \frac{1}{4} (\tilde{E}_x \tilde{H}_y^* + \tilde{E}_x^* \tilde{H}_y) = \\
 &= \frac{1}{4} c \varepsilon_0 E_0^2 e^{-2\frac{\omega}{c} \kappa z} \left[e^{i\frac{\omega}{c} n z} e^{-i\omega t} \frac{\varepsilon_R - i\varepsilon_I}{n - i\kappa} e^{-i\frac{\omega}{c} n z} e^{i\omega t} + \right. \\
 &\quad \left. + e^{-i\frac{\omega}{c} n z} e^{i\omega t} \frac{\varepsilon_R + i\varepsilon_I}{n + i\kappa} e^{i\frac{\omega}{c} n z} e^{-i\omega t} \right] = \\
 &= \frac{1}{4} c \varepsilon_0 E_0^2 e^{-2\frac{\omega}{c} \kappa z} \frac{(\varepsilon_R - i\varepsilon_I)(n + i\kappa) + (\varepsilon_R + i\varepsilon_I)(n - i\kappa)}{n^2 + \kappa^2} = \\
 &= \frac{1}{2} c n \varepsilon_0 E_0^2 e^{-2\frac{\omega}{c} \kappa z}.
 \end{aligned}$$

Totéž můžeme dostat s využitím úhlu fázového posunu φ_N mezi \tilde{E}_x a \tilde{H}_y

$$\begin{aligned}
S_z(z, t) &= \text{Re}\{\tilde{E}_x\} \text{Re}\{\tilde{H}_y\} = \\
&= E_0 e^{-\frac{\omega}{c}\kappa z} \text{Re}\left\{e^{i\left(\frac{\omega}{c}nz - \omega t\right)}\right\} \varepsilon_0 c |\mathcal{N}| E_0 e^{-\frac{\omega}{c}\kappa z} \text{Re}\left\{e^{i\left(\frac{\omega}{c}nz - \omega t\right)} e^{i\varphi_{\mathcal{N}}}\right\} = \\
&= \varepsilon_0 c |\mathcal{N}| E_0^2 e^{-2\frac{\omega}{c}\kappa z} \cos\left(\frac{\omega}{c}nz - \omega t\right) \cos\left(\frac{\omega}{c}nz - \omega t + \varphi_{\mathcal{N}}\right) = \\
&= \frac{1}{2} \varepsilon_0 c |\mathcal{N}| E_0^2 e^{-2\frac{\omega}{c}\kappa z} \left[\cos\varphi_{\mathcal{N}} + \cos\left(2\frac{\omega}{c}nz - 2\omega t + \varphi_{\mathcal{N}}\right)\right], \\
\langle S_z(z) \rangle_t &= \frac{1}{2} \varepsilon_0 c |\mathcal{N}| E_0^2 e^{-2\frac{\omega}{c}\kappa z} \cos\varphi_{\mathcal{N}} = \\
&= \frac{1}{2} \varepsilon_0 c E_0^2 e^{-2\frac{\omega}{c}\kappa z} \sqrt{n^2 + \kappa^2} \cos\varphi_{\mathcal{N}} = \frac{1}{2} \varepsilon_0 c n E_0^2 e^{-2\frac{\omega}{c}\kappa z},
\end{aligned}$$

protože $\sqrt{n^2 + \kappa^2} \cos\varphi_{\mathcal{N}} = n$, viz obr. 13.1.

Nezávisle na tom, zda posuzujeme intenzitu vlny pomocí střední hodnoty intenzity elektrického pole, nebo pomocí Poyntingova vektoru, dostáváme slábnutí intenzity podél směru šíření popsané závislostí $e^{-2\frac{\omega}{c}\kappa z}$. Absorpční koeficient jsme zavedli jako $\alpha = 2\frac{\omega}{c}\kappa$ a připomeňme $\varepsilon_I = 2n\kappa$.

Objemová hustota výkonu odebíraného vlně je

$$\begin{aligned}
\langle -\text{div } S \rangle_t &= -\left\langle \frac{\partial S_z}{\partial z} \right\rangle_t = \frac{1}{2} c n \varepsilon_0 E_0^2 \alpha e^{-\alpha z} = \varepsilon_0 E_0^2 \omega n \kappa e^{-2\frac{\omega}{c}\kappa z} = \\
&= \frac{1}{2} \varepsilon_0 E_0^2 \omega \varepsilon_I e^{-2\frac{\omega}{c}\kappa z}.
\end{aligned}$$

Alternativní odvození pro objemovou hustotu odebíraného výkonu může vycházet z výrazu pro objemovou hustotu uvolňovaného Jouleova tepla

$$Q = \text{Re}\{\tilde{\mathbf{J}}\} \cdot \text{Re}\{\tilde{\mathbf{E}}\}.$$

V případě bez volných proudů je nenulový proud polarizační a v naší geometrii je

$$\tilde{j}_{Px} = \frac{\partial \tilde{P}_x}{\partial t} = \varepsilon_0 (\chi_R + i\chi_I) \frac{\partial \tilde{E}_x}{\partial t}.$$

Pro zkrácení zápisu opět zvolme zkratku $\xi = k_R z - \omega t$

$$\begin{aligned}
\text{Re}\{\tilde{\mathbf{E}}\} &= E_0 e^{-k_I z} \cos \xi, \\
\text{Re}\{\tilde{\mathbf{J}}_P\} &= \varepsilon_0 E_0 e^{-k_I z} \text{Re}\{-i\omega(\chi_R + i\chi_I) (\cos \xi + i \sin \xi)\} = \\
&= \varepsilon_0 E_0 e^{-k_I z} \text{Re}\{-i\omega\chi_R \cos \xi - i\omega\chi_R i \sin \xi - \\
&\quad -i\omega i\chi_I \cos \xi - i\omega i\chi_I i \sin \xi\} = \\
&= \varepsilon_0 E_0 e^{-k_I z} (\omega\chi_R \sin \xi + \omega\chi_I \cos \xi).
\end{aligned}$$

Součin reálných částí a jeho časová střední hodnota

$$Q(z, t) = \varepsilon_0 E_0^2 e^{-2k_I z} \omega [\chi_R \sin \xi \cos \xi + \chi_I \cos^2 \xi],$$

$$\langle Q(z) \rangle_t = \frac{1}{2} \omega \chi_I \varepsilon_0 E_0^2 e^{-2k_I z} = \frac{1}{2} \omega \varepsilon_I \varepsilon_0 E_0^2 e^{-2k_I z} = \langle -\text{div } S \rangle_t$$

v souladu s Poyntingovým teorémem (bilance výkonu) pro stacionární děj, kdy se střední hodnota energie elektromagnetického pole v látce nemění

Dodatek 13.4

Prostředí s nenulovými volnými proudy \mathbf{j}_f a fázovým posuvem mezi E a D

V látkách nejsou přítomny jen náboje vázané ke svým rovnovážným polohám, ale vyskytují se i náboje volně pohyblivé. Jejich příspěvek k optickým parametrům je v nejjednodušší verzi popsán Drudeovým modelem, který vychází z pohybové rovnice volného náboje v elektrickém poli monochromatické vlny. Volný náboj není vrácen do žádné rovnovážné polohy a kmitá pouze vlivem střídavého elektrického pole. Příslušná proudová odezva může být charakterizována komplexní vodivostí $\sigma_R + i\sigma_I$. Na rozdíl od popisu prováděném v základním textu, zde budeme předpokládat, že komplexní vodivost i komplexní permitivita jsou nenulové, tj. že bychom nějakým způsobem uměli odlišit ohmický proud \mathbf{j}_f , s nímž jsou spojené ztráty Jouleovým teplem, a ztráty spojené s fázovým posuvem mezi E a D . Příslušné parametry oindexujeme (1), tedy $\sigma_R^{(1)}, \sigma_I^{(1)}, \varepsilon_R^{(1)}, \varepsilon_I^{(1)}$.

Pro jednoduchost se opět zabývejme homogenní, rovinnou, monochromatickou a lineárně polarizovanou vlnou, pro kterou jsou nenulové složky $E_x, D_x, H_y, B_y, \tilde{\mathcal{K}}_z$. Předpokládejme exponenciální tlumení vlny v závislosti na souřadnici z .

$$\tilde{E}_x(z, t) = E_{0x}(z=0) e^{-\frac{\omega}{c} \kappa z} e^{i\frac{\omega}{c} n z} e^{-i\omega t} = \tilde{E}_{0x}(z) e^{-i\omega t}.$$

Z Maxwellovy rovnice $\text{rot } \mathbf{H} = \mathbf{j}_f + \frac{\partial \mathbf{D}}{\partial t}$ tak zůstane

$$-\frac{\partial \tilde{H}_y(z, t)}{\partial z} = (\sigma_R^{(1)} + i\sigma_I^{(1)}) \tilde{E}_x(z, t) + \varepsilon_0 (\varepsilon_R^{(1)} + i\varepsilon_I^{(1)}) \frac{\partial \tilde{E}_x(z, t)}{\partial t}.$$

Protože $\frac{\partial \tilde{E}_x}{\partial t} = -i\omega \tilde{E}_x(z)$, lze oba členy spojit

$$-\frac{\partial \tilde{H}_y(z, t)}{\partial z} = (\sigma_R^{(1)} + i\sigma_I^{(1)}) \tilde{E}_x(z, t) - i\omega \varepsilon_0 (\varepsilon_R^{(1)} + i\varepsilon_I^{(1)}) \tilde{E}_x(z, t)$$

a zavést buď souhrnný parametr vodivosti

$$\tilde{\sigma}^{(2)} = \sigma_R^{(2)} + i\sigma_I^{(2)} = \sigma_R^{(1)} + \omega \varepsilon_0 \varepsilon_I^{(1)} + i\sigma_I^{(1)} - i\omega \varepsilon_0 \varepsilon_R^{(1)}$$

nebo souhrnnou permitivitu, kterou jsme užívali v základním textu této kapitoly (zde bez indexu)

$$\begin{aligned}\tilde{\varepsilon}_r &= \varepsilon_R + i\varepsilon_I = -\frac{\sigma_I^{(1)}}{\varepsilon_0\omega} + \varepsilon_R^{(1)} + \frac{i\sigma_R^{(1)}}{\varepsilon_0\omega} + i\varepsilon_I^{(1)} = \\ &= 1 + \chi_R^{(1)} + i\chi_I^{(1)} - \frac{\sigma_I^{(1)}}{\varepsilon_0\omega} + \frac{i\sigma_R^{(1)}}{\varepsilon_0\omega}.\end{aligned}$$

Tento krok umožní spojit např. nerezonanční příspěvek k permitivitě od volného proudu (Drudeův model) s rezonančními příspěvky od oscilátorů (Lorentzův model) v jedné permitivitě $\tilde{\varepsilon}_r(\omega)$

$$\tilde{\varepsilon}_r(\omega) = 1 - \frac{N_q q^2}{\varepsilon_0 m_q} \frac{1}{\omega^2 + i\omega\gamma_q} + \sum_j \frac{N_j q_j^2}{\varepsilon_0 m_j} \frac{f_j}{\Omega_j^2 - \omega^2 - i\omega\gamma_j},$$

kde N_q, m_q, γ_q jsou koncentrace, hmotnost a tlumení pohybu volných nábojů q a $N_j, q_j, m_j, \Omega_j, \gamma_j$ jsou koncentrace, efektivní náboje kmitajícího dipólu, efektivní hmotnost kmitajících nábojů, vlastní frekvence kmitajícího dipólu a příslušné tlumení, kde se sčítá přes jednotlivé typy kmitajících dipólů. Uvedený vztah vychází z toho, že v případě více příspěvků k odezvě látky na elektrické pole vlny se sčítají polarizace, tedy i susceptibility, $\tilde{\varepsilon}_r^{(total)}(\omega) = 1 + \sum_j \chi_j(\omega)$.

Podívejme se, jak dopadne dosazení sady parametrů (1) do Maxwellových rovnic. Chceme získat vztah mezi $n + i\kappa$ a $\sigma_R^{(1)}, \sigma_I^{(1)}, \varepsilon_R^{(1)}, \varepsilon_I^{(1)}$.

$$\tilde{E}_x(z, t) = E_{0x}(z=0) e^{-\frac{\omega}{c}kz} e^{i\frac{\omega}{c}nz} e^{-i\omega t} = \tilde{E}_{0x}(z) e^{-i\omega t},$$

$$\begin{aligned}\tilde{D}_x(z, t) &= \varepsilon_0 \left(\varepsilon_R^{(1)} + i\varepsilon_I^{(1)} \right) E_{0x}(z=0) e^{-\frac{\omega}{c}kz} e^{i\frac{\omega}{c}nz} e^{-i\omega t} = \\ &= \tilde{E}_{0x}(z) \varepsilon_0 \left(\varepsilon_R^{(1)} + i\varepsilon_I^{(1)} \right) (\cos \omega t - i \sin \omega t),\end{aligned}$$

$$\begin{aligned}\frac{\partial \tilde{D}_x(z, t)}{\partial t} &= \tilde{E}_{0x}(z) \left(-\varepsilon_0 \omega \varepsilon_R^{(1)} \sin \omega t + \varepsilon_0 \omega \varepsilon_I^{(1)} \cos \omega t - \right. \\ &\quad \left. -i\varepsilon_0 \omega \varepsilon_R^{(1)} \cos \omega t - i\varepsilon_0 \omega \varepsilon_I^{(1)} \sin \omega t \right),\end{aligned}$$

$$\begin{aligned}\tilde{j}_x(z, t) &= \left(\sigma_R^{(1)} + i\sigma_I^{(1)} \right) \tilde{E}_x(z, t) = \\ &= \tilde{E}_{0x}(z) \left(\sigma_R^{(1)} \cos \omega t + \sigma_I^{(1)} \sin \omega t - i\sigma_R^{(1)} \sin \omega t + i\sigma_I^{(1)} \cos \omega t \right),\end{aligned}$$

$$\begin{aligned}-\frac{\partial \tilde{H}_y(z, t)}{\partial z} &= \tilde{E}_{0x}(z) \left[\left(\sigma_R^{(1)} + i\sigma_I^{(1)} \right) e^{-i\omega t} - i\omega \varepsilon_0 \left(\varepsilon_R^{(1)} + i\varepsilon_I^{(1)} \right) e^{-i\omega t} \right] = \\ &= \tilde{E}_{0x}(z) \left[\left(\sigma_R^{(1)} + i\sigma_I^{(1)} \right) (\cos \omega t - i \sin \omega t) - \right. \\ &\quad \left. -i\omega \varepsilon_0 \left(\varepsilon_R^{(1)} + i\varepsilon_I^{(1)} \right) (\cos \omega t - i \sin \omega t) \right] =\end{aligned}$$

$$\begin{aligned}
&= \tilde{E}_{0x}(z) \left[\sigma_R^{(1)} \cos \omega t + \sigma_I^{(1)} \sin \omega t - i \sigma_R^{(1)} \sin \omega t + i \sigma_I^{(1)} \cos \omega t + \right. \\
&\quad \left. + \varepsilon_0 \omega \left(\varepsilon_I^{(1)} \cos \omega t - \varepsilon_R^{(1)} \sin \omega t - i \varepsilon_R^{(1)} \cos \omega t - i \varepsilon_I^{(1)} \sin \omega t \right) \right] = \\
&= \tilde{E}_{0x}(z) [a(\omega t) + ib(\omega t)] = E_{0x}(z=0) e^{-\frac{\omega}{c} \kappa z} e^{i \frac{\omega}{c} n z} [a(\omega t) + ib(\omega t)].
\end{aligned}$$

Integrací dostaneme

$$\begin{aligned}
\tilde{H}_y(z, t) &= -E_{0x}(z=0) [a(\omega t) + ib(\omega t)] \int e^{-\frac{\omega}{c} \kappa z} e^{i \frac{\omega}{c} n z} dz = \\
&= \frac{-c}{i \omega (n + i \kappa)} \tilde{E}_{0x}(z) [a(\omega t) + ib(\omega t)], \\
\tilde{B}_y(z, t) &= \mu_0 \tilde{H}_y(z, t) = \frac{-\mu_0 c}{i \omega (n + i \kappa)} \tilde{E}_{0x}(z) [a(\omega t) + ib(\omega t)].
\end{aligned}$$

Z další Maxwellovy rovnice dostaneme

$$(\text{rot } \mathbf{E})_y = -\frac{\partial B_y}{\partial t} = \frac{\partial E_x}{\partial z},$$

$$\begin{aligned}
-\frac{\partial \tilde{B}_y}{\partial t} &= \frac{\mu_0 c}{i \omega (n + i \kappa)} \tilde{E}_{0x}(z) \\
&\quad \times \\
&\quad \times \left[\omega \left(-\sigma_R^{(1)} \sin \omega t + \sigma_I^{(1)} \cos \omega t - i \sigma_R^{(1)} \cos \omega t - i \sigma_I^{(1)} \sin \omega t \right) \right. \\
&\quad \left. + \varepsilon_0 \omega^2 \left(-\varepsilon_I^{(1)} \sin \omega t - \varepsilon_R^{(1)} \cos \omega t + i \varepsilon_R^{(1)} \sin \omega t - i \varepsilon_I^{(1)} \cos \omega t \right) \right], \\
\frac{\partial \tilde{E}_x}{\partial z} &= \frac{\mu_0 c}{i \omega (n + i \kappa)} \tilde{E}_{0x}(z) \varepsilon_0 \omega^2 \times \\
&\quad \times \left[\frac{-\sigma_R^{(1)}}{\varepsilon_0 \omega} \sin \omega t + \frac{\sigma_I^{(1)}}{\varepsilon_0 \omega} \cos \omega t - i \frac{\sigma_R^{(1)}}{\varepsilon_0 \omega} \cos \omega t - i \frac{\sigma_I^{(1)}}{\varepsilon_0 \omega} \sin \omega t + \right. \\
&\quad \left. - \varepsilon_I^{(1)} \sin \omega t - \varepsilon_R^{(1)} \cos \omega t - i \varepsilon_I^{(1)} \cos \omega t + i \varepsilon_R^{(1)} \sin \omega t \right]
\end{aligned}$$

a integrací

$$\begin{aligned}
\tilde{E}_x(z, t) &= \frac{\varepsilon_0 \mu_0 c^2}{-(n + i \kappa)^2} \tilde{E}_{0x}(z) \times \\
&\quad \times \left[\frac{\sigma_I^{(1)}}{\varepsilon_0 \omega} \cos \omega t - \varepsilon_R^{(1)} \cos \omega t - \frac{\sigma_R^{(1)}}{\varepsilon_0 \omega} \sin \omega t - \varepsilon_I^{(1)} \sin \omega t + \right.
\end{aligned}$$

$$+ i \left(-\frac{\sigma_R^{(1)}}{\varepsilon_0 \omega} \cos \omega t - \varepsilon_I^{(1)} \cos \omega t - \frac{\sigma_I^{(1)}}{\varepsilon_0 \omega} \sin \omega t + \varepsilon_R^{(1)} \sin \omega t \right),$$

$$\tilde{E}_x(z, t) = \frac{1}{(n + ik)^2} \tilde{E}_{0x}(z) \times$$

$$\times \left[\left(\varepsilon_R^{(1)} - \frac{\sigma_I^{(1)}}{\varepsilon_0 \omega} \right) \cos \omega t - i \left(\varepsilon_R^{(1)} - \frac{\sigma_I^{(1)}}{\varepsilon_0 \omega} \right) \sin \omega t - \right.$$

$$\left. - i \left(i\varepsilon_I^{(1)} + \frac{i\sigma_R^{(1)}}{\varepsilon_0 \omega} \right) \sin \omega t + \left(i\varepsilon_I^{(1)} + \frac{i\sigma_R^{(1)}}{\varepsilon_0 \omega} \right) \cos \omega t \right],$$

$$\tilde{E}_x(z, t) = \frac{1}{(n + ik)^2} \tilde{E}_{0x}(z) \left[\left(\varepsilon_R^{(1)} - \frac{\sigma_I^{(1)}}{\varepsilon_0 \omega} \right) e^{-i\omega t} + \left(i\varepsilon_I^{(1)} + \frac{i\sigma_R^{(1)}}{\varepsilon_0 \omega} \right) e^{-i\omega t} \right] =$$

$$= \frac{1}{(n + ik)^2} \left(\varepsilon_R^{(1)} - \frac{\sigma_I^{(1)}}{\varepsilon_0 \omega} + i\varepsilon_I^{(1)} + \frac{i\sigma_R^{(1)}}{\varepsilon_0 \omega} \right) \tilde{E}_{0x}(z) e^{-i\omega t}$$

Požadavek, aby pole v z odpovídalo zadané vlně

$$\tilde{E}_x(z, t) = E_{0x}(z = 0) e^{-\frac{\omega}{c}kz} e^{i\frac{\omega}{c}nz} e^{-i\omega t} = \tilde{E}_{0x}(z) e^{-i\omega t},$$

je splněn, když

$$(n + ik)^2 = \varepsilon_R^{(1)} - \frac{\sigma_I^{(1)}}{\varepsilon_0 \omega} + i\varepsilon_I^{(1)} + \frac{i\sigma_R^{(1)}}{\varepsilon_0 \omega}.$$

Pro izolant $\sigma_R = \sigma_I = 0$ dostáváme známý vztah $(n + ik)^2 = \varepsilon_R + i\varepsilon_I$.

Tak jsme ukázali, že prostředí, která obsahují jak volné nosiče náboje, tak i oscilátory, lze souhrnně zcela ekvivalentně popsat buď relativní permitivitou (bez indexů, užívali jsme v základním textu)

$$\operatorname{Re}\{\tilde{\varepsilon}_r\} = \varepsilon_R = \varepsilon_R^{(1)} - \frac{\sigma_I^{(1)}}{\varepsilon_0 \omega}, \quad \operatorname{Im}\{\tilde{\varepsilon}_r\} = \varepsilon_I = \varepsilon_I^{(1)} + \frac{\sigma_R^{(1)}}{\varepsilon_0 \omega}$$

nebo vodivostí (2)

$$\operatorname{Re}\{\tilde{\sigma}^{(2)}\} = \sigma_R^{(2)} = \sigma_R^{(1)} + \omega \varepsilon_0 \varepsilon_I^{(1)},$$

$$\operatorname{Im}\{\tilde{\sigma}^{(2)}\} = \sigma_I^{(2)} = \sigma_I^{(1)} - \omega \varepsilon_0 \varepsilon_R^{(1)}.$$

V souhrnu zopakujme vztahy mezi indexem lomu a materiálovými parametry uvedených sad

$$\begin{aligned} (n + i\kappa)^2 &= \varepsilon_R + i\varepsilon_I = \\ &= \varepsilon_R^{(1)} - \frac{\sigma_I^{(1)}}{\varepsilon_0\omega} + i\varepsilon_I^{(1)} + i\frac{\sigma_R^{(1)}}{\varepsilon_0\omega} = \frac{1}{\varepsilon_0\omega} \left(-\sigma_I^{(2)} + i\sigma_R^{(2)} \right) \end{aligned}$$

aniž by byl důležitý mechanismus interakce. Takže lze bez problémů vyjádřit i původem čistě vodivostní příspěvek (volně pohyblivé náboje) k optickým parametrům pomocí $\tilde{\varepsilon}_r(\omega)$ a naopak čistě dielektrický příspěvek (polarizace dielektrika) přes vodivost $\tilde{\sigma}(\omega)$.

Dodatek 13.5 Rovinná vlna a Poyntingův teorém

Zákon zachování energie (ve stacionárním případě zachování výkonu) byl obecně formulován jako tzv. **Poyntingův teorém**, který není omezen na monochromatický případ. V obecném (nemonochromatickém) případě nemůžeme zavést fázové posuvy.

Vyjádření ztrát pomocí \mathbf{j} , \mathbf{E}

Vyjdeme z Maxwellových rotačních rovnic pro případ, že ztráty jsou vyjádřeny pomocí proudu \mathbf{j} jako uvolněné Jouleovo teplo

$$\text{rot } \mathbf{E} = -\frac{\partial \mathbf{B}}{\partial t}, \quad \text{rot } \mathbf{H} = \mathbf{j} + \frac{\partial \mathbf{D}}{\partial t}.$$

První rovnici skalárně vynásobíme vektorem \mathbf{H} , druhou vektorem \mathbf{E} a obě rovnice odečteme

$$\mathbf{E} \cdot \text{rot } \mathbf{H} - \mathbf{H} \cdot \text{rot } \mathbf{E} = \mathbf{j} \cdot \mathbf{E} + \mathbf{E} \cdot \frac{\partial \mathbf{D}}{\partial t} + \mathbf{H} \cdot \frac{\partial \mathbf{B}}{\partial t}$$

Dále využijeme vektorovou identitu

$$\begin{aligned} \text{div } \mathbf{S} &= \text{div} (\mathbf{E} \times \mathbf{H}) = \mathbf{H} \cdot \text{rot } \mathbf{E} - \mathbf{E} \cdot \text{rot } \mathbf{H} = \\ &= -\mathbf{H} \cdot \frac{\partial \mathbf{B}}{\partial t} - \mathbf{E} \cdot \mathbf{j} - \mathbf{E} \cdot \frac{\partial \mathbf{D}}{\partial t}, \end{aligned}$$

z čehož dostaneme **Poyntingův teorém** v diferenciálním tvaru

$$-\text{div } \mathbf{S} = \mathbf{j} \cdot \mathbf{E} + \mathbf{E} \cdot \frac{\partial \mathbf{D}}{\partial t} + \mathbf{H} \cdot \frac{\partial \mathbf{B}}{\partial t},$$

Pro poslední dva členy napíšeme v lineárním případě a v případě, že změny indukce \mathbf{D} probíhají současně se změnami pole \mathbf{E}

$$\mathbf{E} \cdot \frac{\partial \mathbf{D}}{\partial t} = \mathbf{E} \cdot \frac{\partial(\varepsilon_0 \varepsilon_r \mathbf{E})}{\partial t} = \frac{1}{2} \frac{\partial(\varepsilon_0 \varepsilon_r \mathbf{E} \cdot \mathbf{E})}{\partial t} = \frac{1}{2} \frac{\partial(\varepsilon_0 \varepsilon_r E^2)}{\partial t} = \frac{\partial u_E}{\partial t}, \quad)$$

kde jsme použili $\frac{\partial \mathbf{D}}{\partial t} = \varepsilon_0 \varepsilon_r \frac{\partial \mathbf{E}}{\partial t}$, $\varepsilon_0 \varepsilon_r$ jsou reálná čísla. Podobně

$$\mathbf{H} \cdot \frac{\partial \mathbf{B}}{\partial t} = \frac{\partial u_B}{\partial t}.$$

Celkově dostaneme zákon zachování výkonu

$$\begin{aligned} \mathbf{E} \cdot \frac{\partial \mathbf{D}}{\partial t} + \mathbf{H} \cdot \frac{\partial \mathbf{B}}{\partial t} &= \frac{\partial(u_E + u_B)}{\partial t} = \frac{\partial u_{pole}}{\partial t}, \\ -\operatorname{div} \mathbf{S} &= \mathbf{j} \cdot \mathbf{E} + \frac{\partial(u_E + u_B)}{\partial t}, \end{aligned}$$

kde ztráty elektromagnetické energie jsou ve vodivostním členu $\mathbf{j} \cdot \mathbf{E}$ jako Jouleovo teplo a změny energie elektromagnetického pole v látce jsou $\frac{\partial(u_E + u_B)}{\partial t}$. Člen $-\operatorname{div} \mathbf{S}$ představuje rozdíl výkonových toků do infinitesimálního objemu a z něho ven.

Vyjádření ztrát pomocí \mathbf{E} , \mathbf{D}

Aniž bychom předpokládali $\mathbf{D} = \varepsilon_0 \varepsilon_r \mathbf{E}$ (stačí obecný vztah $\mathbf{D} = \varepsilon_0 \mathbf{E} + \mathbf{P}$), lze odvodit pro časovou změnu hustoty elektrické energie

$$\begin{aligned} \frac{\partial(\mathbf{E} \cdot \mathbf{D})}{\partial t} &= \mathbf{E} \cdot \frac{\partial \mathbf{D}}{\partial t} + \mathbf{D} \cdot \frac{\partial \mathbf{E}}{\partial t}, \\ \mathbf{E} \cdot \frac{\partial \mathbf{D}}{\partial t} &= \frac{\partial(\mathbf{E} \cdot \mathbf{D})}{\partial t} - \mathbf{D} \cdot \frac{\partial \mathbf{E}}{\partial t} = \frac{\partial(\mathbf{E} \cdot \mathbf{D})}{\partial t} - \varepsilon_0 \mathbf{E} \cdot \frac{\partial \mathbf{E}}{\partial t} - \mathbf{P} \cdot \frac{\partial \mathbf{E}}{\partial t} = \\ &= \frac{\partial(\mathbf{E} \cdot \mathbf{D})}{\partial t} - \mathbf{E} \cdot \frac{\partial \mathbf{D}}{\partial t} + \mathbf{E} \cdot \frac{\partial \mathbf{P}}{\partial t} - \mathbf{P} \cdot \frac{\partial \mathbf{E}}{\partial t}, \end{aligned}$$

kde jsme využili $\varepsilon_0 \frac{\partial \mathbf{E}}{\partial t} = \frac{\partial \mathbf{D}}{\partial t} - \frac{\partial \mathbf{P}}{\partial t}$. Po převodu členu $\mathbf{E} \cdot \frac{\partial \mathbf{D}}{\partial t}$ na levou stranu

$$2 \mathbf{E} \cdot \frac{\partial \mathbf{D}}{\partial t} = \frac{\partial(\mathbf{E} \cdot \mathbf{D})}{\partial t} + \mathbf{E} \cdot \frac{\partial \mathbf{P}}{\partial t} - \mathbf{P} \cdot \frac{\partial \mathbf{E}}{\partial t}$$

což je výraz pro $\mathbf{E} \cdot \frac{\partial \mathbf{D}}{\partial t}$ vystupující v Poyntingově teorému. Podobně i pro magnetické pole.

$$\begin{aligned} -\operatorname{div} \mathbf{S} &= \mathbf{j}_f \cdot \mathbf{E} + \frac{1}{2} \frac{\partial}{\partial t} (\mathbf{E} \cdot \mathbf{D} + \mathbf{B} \cdot \mathbf{H}) + \frac{1}{2} \left(\mathbf{E} \cdot \frac{\partial \mathbf{P}}{\partial t} - \mathbf{P} \cdot \frac{\partial \mathbf{E}}{\partial t} \right) + \\ &\quad + \frac{\mu_0}{2} \left(\mathbf{H} \cdot \frac{\partial \mathbf{M}}{\partial t} - \mathbf{M} \cdot \frac{\partial \mathbf{H}}{\partial t} \right). \end{aligned}$$

Pro nemagnetické prostředí je ovšem $\mathbf{M} = 0$.

Zkusme výpočet pro **časový harmonický průběh** v nějakém místě \mathbf{r} . Předpokládejme izotropní prostředí, vektory \mathbf{E} , \mathbf{P} , \mathbf{D} rovnoběžné, vlnu lineárně polarizovanou, homogenní a tlumenou. V **monochromatickém** případě můžeme zavést **fázové posuny**. Popisujme stacionární případ. Požadavek homogenity souvisí se způsobem vstupu vlny do absorbujícího

prostředí, např. kolmý dopad na rovinné rozhraní vakuum – látka. Jak jsme ukázali v **Dodatku 13.4**), je

$$\begin{aligned} & \sigma_R^{(1)}, \sigma_I^{(1)}, \quad \varepsilon_R^{(1)}, \varepsilon_I^{(1)}. \\ \tilde{\varepsilon}_r(\omega) &= -\frac{\sigma_I^{(1)}(\omega)}{\varepsilon_0\omega} + \varepsilon_R^{(1)}(\omega) + \frac{i\sigma_R^{(1)}(\omega)}{\varepsilon_0\omega} + i\varepsilon_I^{(1)}(\omega) = \\ &= 1 + \chi_R + i\chi_I = \varepsilon_R(\omega) + i\varepsilon_I(\omega) \end{aligned}$$

a lze spojit popis ohmického proudu a dipólových kmitů do jedné komplexní permitivity a tedy i do jednoho komplexního indexu lomu. Obojí harmonicky kmitá, příspěvky jsou jen fázově posunuty. Stacionárnost je vyjádřena harmonickým kmitáním a v souvislosti s tím amplitudy nezávisí na čase, jen na prostorové souřadnici. V níže uvedených vztazích jsou χ_R' a χ_I' výše zmíněné spojené parametry proudů a polarizace. V reálné symbolice

$$E_x(z, t) = E_0(z=0) \operatorname{Re} \left\{ e^{i(n+ik)\frac{\omega}{c}z} e^{-i\omega t} \right\} = E_0(z) \cos \left(\omega t - \frac{n\omega}{c}z \right), \quad (1.64)$$

$$E_0(z) = E_{00} e^{-\kappa\frac{\omega}{c}z}, \quad t' = t - \frac{n}{c}z, \quad E_{00} \text{ amplituda v } z = 0$$

$$E_x(z, t') = E_0(z) \operatorname{Re} \left\{ e^{-i\omega t'} \right\} = E_0(z) \cos \omega t',$$

$$\begin{aligned} P_x(z, t') &= \varepsilon_0 E_0(z) \operatorname{Re} \left\{ (\chi_R + i\chi_I)(\cos \omega t' - i \sin \omega t') \right\} = \\ &= \varepsilon_0 E_0(z) (\chi_R \cos \omega t' + \chi_I \sin \omega t'), \end{aligned}$$

$$j_x(z, t') = \varepsilon_0 E_0(z) (-\omega \chi_R \sin \omega t' + \omega \chi_I \cos \omega t'),$$

$$D_x(z, t') = \varepsilon_0 E_0(z) (1 + \chi_R \cos \omega t' + \chi_I \sin \omega t'),$$

$$\begin{aligned} B_y(z, t') &= E_0(z) \operatorname{Re} \left\{ \frac{n + ik}{c} (\cos \omega t' - i \sin \omega t') \right\} = \\ &= E_0(z) \sqrt{\varepsilon_0 \mu_0} (n \cos \omega t' + \kappa \sin \omega t'), \end{aligned}$$

$$H_y(z, t') = \frac{1}{\mu_0} B_y(z, t') = E_0(z) \sqrt{\frac{\varepsilon_0}{\mu_0}} (n \cos \omega t' + \kappa \sin \omega t'),$$

$$1 + \chi_R + i\chi_I = (n + ik)^2 = n^2 - \kappa^2 + 2in\kappa.$$

Udělejme výkonovou bilanci pro uvedený stacionární případ a zajímejme se o časové střední hodnoty v místě z

$$\begin{aligned} \langle S_z(z, t') \rangle_T &= \langle E_x H_y \rangle_T = E_0^2(z) \sqrt{\frac{\varepsilon_0}{\mu_0}} \langle n \cos^2 \omega t' + \kappa \sin \omega t' \cos \omega t' \rangle_T \\ &= \end{aligned}$$

$$\begin{aligned}
&= \frac{1}{2} \varepsilon_0 c n E_0^2(z) = \frac{1}{2} \varepsilon_0 c n E_{00}^2 e^{-2\kappa \frac{\omega}{c} z}, \\
\langle \operatorname{div} \mathbf{S}(z) \rangle_T &= \left\langle \frac{\partial S_z}{\partial z} \right\rangle_T = -\varepsilon_0 \omega n \kappa E_0^2(z) \\
&= -\varepsilon_0 \omega n \kappa E_{00}^2 e^{-2\kappa \frac{\omega}{c} z}.
\end{aligned}$$

Znaménko – znamená, že do oblasti kolem roviny $z = \text{konst.}$ více výkonu vtéká než vytéká.

Kmitání $\mathbf{j} \cdot \mathbf{E}$ je zahrnuto do kmitání \mathbf{E} a \mathbf{D} . Z důvodu požadované stacionárnosti jsou střední hodnoty časových změn hustot energií nulové:

$$\begin{aligned}
\frac{\partial}{\partial t'} (\operatorname{Re} \{E_x\} \cdot \operatorname{Re} \{D_x\}) &= \frac{\partial}{\partial t'} [\varepsilon_0 E_0^2(z) \cos \omega t' (1 + \chi_R \cos \omega t' + \chi_I \sin \omega t')] \\
&= \varepsilon_0 E_0^2(z) \frac{\partial}{\partial t'} (\cos \omega t' + \chi_R \cos^2 \omega t' + \chi_I \sin \omega t' \cos \omega t') = \\
&= \omega \varepsilon_0 E_0^2(z) [-\sin \omega t' - 2\chi_R \cos \omega t' \sin \omega t' + \chi_I (\cos^2 \omega t' - \sin^2 \omega t')] = \\
&= \omega \varepsilon_0 E_0^2(z) (-\sin \omega t' - \chi_R \sin 2\omega t' + \chi_I \cos 2\omega t'), \\
\left\langle \frac{\partial}{\partial t'} (\operatorname{Re} \{E_x\} \cdot \operatorname{Re} \{D_x\}) \right\rangle_T &= 0.
\end{aligned}$$

Pro výpočet středních hodnot absorbovaných hustot výkonů použijme

$$\begin{aligned}
\frac{\partial P_x(z)}{\partial t} &= -i\omega \varepsilon_0 (\chi_R + i\chi_I) E_0(z) = \omega \varepsilon_0 E_0(z) (-i\chi_R + \chi_I), \\
\frac{\partial P_x^*(z)}{\partial t} &= \omega \varepsilon_0 E_0(z) (i\chi_R + \chi_I)
\end{aligned}$$

$$\begin{aligned}
\left\langle \mathbf{E} \cdot \frac{\partial \mathbf{P}}{\partial t} \right\rangle_T &= \\
&= \frac{1}{4} \left(E_x^* \cdot \frac{\partial P_x}{\partial t} + E_x \cdot \frac{\partial P_x^*}{\partial t} \right) = \frac{1}{4} \omega \varepsilon_0 E_0^2(z) (-i\chi_R + \chi_I + i\chi_R + \chi_I) = \\
&= \frac{1}{2} \omega \varepsilon_0 E_0^2(z) \chi_I,
\end{aligned}$$

$$\begin{aligned}
\left\langle \mathbf{P} \cdot \frac{\partial \mathbf{E}}{\partial t} \right\rangle_T &= \\
&= \frac{1}{4} \left(P_x^* \cdot \frac{\partial E_x}{\partial t} + P_x \cdot \frac{\partial E_x^*}{\partial t} \right) = \frac{1}{4} \omega \varepsilon_0 E_0^2(z) (-i\chi_R - \chi_I + i\chi_R - \chi_I) = \\
&= -\frac{\omega \varepsilon_0}{2} E_0^2(z) \chi_I,
\end{aligned}$$

$$\frac{1}{2} \left(\mathbf{E} \cdot \frac{\partial \mathbf{P}}{\partial t} - \mathbf{P} \frac{\partial \mathbf{E}}{\partial t} \right) = \omega \varepsilon_0 E_0^2(z) \frac{\chi_1}{2} = n\kappa \varepsilon_0 \omega E_0^2(z),$$

$$\frac{1}{2} \left(\mathbf{H} \cdot \frac{\partial \mathbf{M}}{\partial t} - \mathbf{M} \frac{\partial \mathbf{H}}{\partial t} \right) = 0.$$

Porovnejme $\langle \text{div } \mathbf{S}(z) \rangle_T = \langle \frac{\partial S_z}{\partial z} \rangle_T = -n\kappa \varepsilon_0 \omega E_0^2(z)$, což je rozdíl mezi plošnou hustotou výkonu odtékajícího z místa z a přitékající do místa z , zatímco $\frac{1}{2} \left(\mathbf{E} \cdot \frac{\partial \mathbf{P}}{\partial t} - \mathbf{P} \frac{\partial \mathbf{E}}{\partial t} \right) = n\kappa \varepsilon_0 \omega E_0^2(z)$ je hustota výkonu, který je předán v tomto místě do látky z elektromagnetické vlny. Aby byl realizován stacionární případ (aby se látka neohřívala a tím se podmínky – např. parametry n, κ neměnily), je třeba tuto energii (např. ve formě tepla) odvádět.

Jednotky:

$\mathbf{S}(z)$	$\text{div } \mathbf{S}(z)$	$\mathbf{E} \cdot \mathbf{D}, \mathbf{E} \cdot \mathbf{P}$	$\mathbf{E} \cdot \frac{\partial \mathbf{P}}{\partial t}$
W m^{-2}	W m^{-3}	J m^{-3}	$\text{J s}^{-1} \text{m}^{-3} = \text{W m}^{-3}$

Udělejme bilanci pro průchod tlumené vlny prostředím o tloušťce d . Stále budeme uvažovat stacionární případ. Pro jednoduchost zanedbáme vnější i vnitřní odrazy; lze si představit antireflexně upravené povrchy. Výkony na vstupu a výstupu jsou

$$\langle S_z(z=0) \rangle_T = \frac{1}{2} \varepsilon_0 c n E_{00}^2,$$

$$\langle S_z(z=d) \rangle_T = \frac{1}{2} \varepsilon_0 c n E_{00}^2(d) = \frac{1}{2} \varepsilon_0 c n E_{00}^2 e^{-2\kappa \frac{\omega}{c} d}.$$

Rozdíl mezi výkonem vstupujícím a vystupujícím (oslabení elektromagnetické vlny) můžeme napsat v integrálním tvaru časově vystředovaného Poyntingova teorému

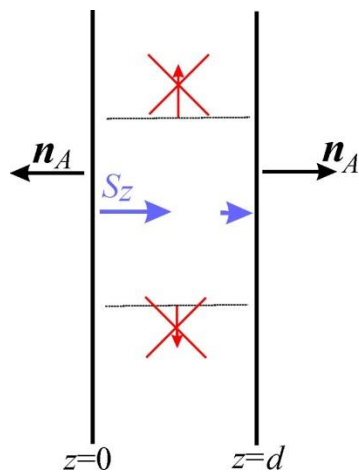
$$\oint_{A(V)} \langle \mathbf{S} \rangle_T \cdot \mathbf{n}_A dA =$$

$$= [\langle -S_z(z=0) \rangle_T + \langle S_z(z=d) \rangle_T] A_{\perp} = \frac{1}{2} \varepsilon_0 c n E_{00}^2 \left(e^{-2\kappa \frac{\omega}{c} d} - 1 \right) A_{\perp}.$$

Přitom předpokládáme, že „bočními“ částmi integrační plochy žádný elektromagnetický výkon ani neuniká ani nevstupuje. \mathbf{n}_A jsou vnější normály k integrační ploše A . Zkontrolujme výkon uvolněný z elektromagnetické vlny po dráze uvnitř absorbující látky vztažený na jednotkový průřez $A_{\perp} = 1$.

$$\int_0^d \langle \text{div } \mathbf{S}(z) \rangle_T dz = -n\kappa \varepsilon_0 \omega E_{00}^2 \int_0^d e^{-2\kappa \frac{\omega}{c} z} dz =$$

$$= -n\kappa\varepsilon_0\omega E_{00}^2 \frac{c E_{00}^2}{-2\kappa\omega} \left[e^{-2\kappa\frac{\omega}{c}z} \right]_0^d = \frac{1}{2} \varepsilon_0 c n E_{00}^2 \left(e^{-2\kappa\frac{\omega}{c}d} - 1 \right).$$



Obr. 13.12 Schéma pro výkonovou bilanci vlny procházející absorbujícím prostředím.

Dodatek 13.6. Započtení příspěvků od spektrálně vzdálených oscilátorů

V našich hrubých kvalitativních modelech (obr. 13.5 až 13.8) jsme se pokusili ukázat vliv přítomnosti více typů oscilátorů na výsledky pro relativně spektrálně osamocený lorentzovský oscilátor:

$$\begin{aligned} \tilde{\varepsilon}_r(\omega) = 1 + \sum_l \frac{N_l q_l^2}{\varepsilon_0 m_l} f_l \frac{1}{\omega_{0l}^2 - i\gamma_l \omega - \omega^2} + \frac{N q^2}{\varepsilon_0 m} \frac{1}{\omega_0^2 - i\gamma \omega - \omega^2} + \\ + \sum_n \frac{N_n q_n^2}{\varepsilon_0 m_n} f_n \frac{1}{\omega_{0n}^2 - i\gamma_n \omega - \omega^2}, \end{aligned}$$

kde index l označuje oscilátory s frekvencí $\omega_{0l} < \omega_0$ a index n oscilátory s frekvencí $\omega_0 < \omega_{0n}$ a přitom spektrálně dostatečně vzdálené $\omega_0 - \omega_{0l} \gg \gamma_l, \gamma$ a též $\omega_{0n} - \omega_0 \gg \gamma_n, \gamma$. Pak lze aproximovat příspěvky od indexovaných oscilátorů

$$\begin{aligned} 1 + \sum_l \frac{N_l q_l^2}{\varepsilon_0 m_l} f_l \frac{1}{\omega_{0l}^2 - i\gamma_l \omega - \omega^2} + \sum_n \frac{N_n q_n^2}{\varepsilon_0 m_n} f_n \frac{1}{\omega_{0n}^2 - i\gamma_n \omega - \omega^2} \cong \\ \cong \varepsilon_{R,MED}(\omega) = n_{MED}^2(\omega), \end{aligned}$$

protože imaginární část od příspěvků oscilátorů l a m $\varepsilon_{l,MED}(\omega)$ klesá s rozdíly $\omega - \omega_{0l}$ a $\omega_{0n} - \omega$ mnohem rychleji než příspěvky k reálné části, jak je vidět i na obr. 13.3. Pro příspěvky oscilátorů $\omega_{0l} < \omega_0$ dostáváme záporná $\Delta\chi_R$ a pro příspěvky od $\omega_0 < \omega_{0n}$ jsou $\Delta\chi_R$ kladná. Ale pro oba typy příspěvků l i n dostáváme $n_{MED}^2(\omega)$ jako rostoucí funkci (normální disperze indexu lomu). V našich hrubých kvalitativních modelech jsme si dovolili navíc aproximaci $n_{MED}^2(\omega) = \text{konstanta}$.